

Sanacija desne obale rijeke Neretve u Kominu – analize stabilnosti obale

Kulić, Tin

Undergraduate thesis / Završni rad

2015

Degree Grantor / Ustanova koja je dodijelila akademski / stručni stupanj:

University of Split, Faculty of Civil Engineering, Architecture and Geodesy / Sveučilište u Splitu, Fakultet građevinarstva, arhitekture i geodezije

Permanent link / Trajna poveznica: <https://urn.nsk.hr/urn:nbn:hr:123:225454>

Rights / Prava: [In copyright/Zaštićeno autorskim pravom.](#)

*Download date / Datum preuzimanja: **2024-05-13***

Repository / Repozitorij:



[FCEAG Repository - Repository of the Faculty of Civil Engineering, Architecture and Geodesy, University of Split](#)



**SVEUČILIŠTE U SPLITU
FAKULTET GRAĐEVINARSTVA, ARHITEKTURE I GEODEZIJE**

ZAVRŠNI RAD

Tin Kulić

Split, 2015

**SVEUČILIŠTE U SPLITU
FAKULTET GRAĐEVINARSTVA, ARHITEKTURE I GEODEZIJE**

**Sanacija desne obale rijeke Neretve u Kominu –
analize stabilnosti obale**

Završni rad

Split, 2015

**SVEUČILIŠTE U SPLITU
FAKULTET GRAĐEVINARSTVA, ARHITEKTURE I GEODEZIJE**

Split, Matice hrvatske 15

STUDIJ: **PREDIPLOMSKI SVEUČILIŠNI STUDIJ
GRAĐEVINARSTVA**

KANDIDAT: **TIN KULIĆ**

BROJ INDEKSA: **4090**

KATEDRA: **Katedra za geotehniku**

PREDMET: **Mehanika tla i temeljenje**

ZADATAK ZA ZAVRŠNI RAD

Tema: Sanacija desne obale rijeke Neretve u Kominu – analize stabilnosti obale

Opis zadatka: Kandidatu su stavljeni na raspolaganje rezultati geotehničkih istražnih radova provedenih na predmetnoj lokaciji i druge potrebne podloge u sklopu projekta sanacije desne obale rijeke Neretve u Kominu (idejni projekt, izvedeno stanje uređene obale). Za potrebe dimenzioniranja zahvata sanacije kritičnih profila desne obale Neretve na dionici od km 7+210,16 do km 7+709,00 potrebno je prema danim podlogama i geotehničkim presjecima odrediti računski model tla te izvršiti analizu stabilnosti pokosa. Analizu stabilnosti pokosa provesti pomoću računalnog programa SLIDE 6.0 u sklopu programskog paketa ROCSCIENCE, za sljedeće projektne situacije: stalno opterećenje (stanje eksploracije - stalna/srednja voda na koti +0,40 m n.m.) i stalno opterećenje+potres.

U Splitu, 7. travnja 2015. godine

Voditelj Završnog rada:

doc.dr.sc. Nataša Štambuk Cvitanović

Sanacija desne obale rijeke Neretve u Kominu

Sažetak:

Za potrebe dimenzioniranja zahvata sanacije kritičnih profila desne obale Neretve na dionici od 7+210.16 km do 7+709.00 km potrebno je odrediti računski model tla te izvršiti analizu stabilnosti pokosa za projektne situacije: stalno opterećenje i stalno opterećenje+potres.

Ključne riječi:

sanacija, dimenzioniranje, analiza stabilnosti pokosa

Remediation of the right bank of the Neretva River

Abstract

For the purpose of geotechnical designing for remediation of critical profiles of the right bank of the river Neretva on the section of 7 + 210.16 km to the 7 + 709.00 km it is necessary to determine the computational model of soil and analyze slope stability for the design situations: permanent load and permanent load + earthquake.

Keywords:

remediation, geotechnical design, slope stability analysis

SADRŽAJ:

1. Tehnički opis	2
1.1. Uvod	2
1.2. Elementi konstrukcije.....	2
1.3. Tijek izvedbe.....	2
1.4. Osnovni podaci o uređenju obale	3
1.6. Terenski istražni radovi	4
1.7. Laboratorijski istražni radovi	5
2. Odabir parametara tla	7
2.1. Klasifikacija tla	7
2.2. Karakteristične vrijednosti parametara tla.....	11
3. Analiza stabilnosti.....	14
3.1. Proračunski pristup	14
3.2. Računski model tla	15
3.3. Prikaz rezultata analize stabilnosti	16
4. Zaključak	25
5. Literatura	27
6. Prilozi	28

1. Tehnički opis

1.1. Uvod

Dionica obuhvaća potez desne obale od km 7+210,16 (P62) do km 7+709,00 (P78), sveukupne dužine 498,84 m. Predmetna dionica prolazi kroz naselje Komin. Dio obale na ovoj dionici je djelomično erodiran i potkopan, a pokos je vrlo strm. Zbog toga postoji opasnost od urušavanja obale i županijske ceste smještene na obali. U ovom radu dana je rješenje sanacije obale, tj. definirane su potrebne mjere i zahvati na zaštiti i uređenju desne obale rijeke Neretve u mjestu Komin. Situacija je prikazana u grafičkim prilozima.

1.2. Elementi konstrukcije

Sanacija obale na predmetnoj dionici se izvodi na način da se pokos obale stabilizira izgradnjom obaloutvrde od kamena u stabilnom nagibu 1:2, uz izvedbu temeljne kamene nožice širine berme 3 m. Sloj kamena je potrebno odvojiti od postojećeg materijala dna i obale upotrebom geosintetika zbog sprječavanja erozije tla, tj. ispiranja pjeskovitih materijala uslijed djelovanja rijeke.

Gornji dio obale, uz cestu, izведен je na način da se uredi zona parkinga i nogostup uz rijeku, a sam pristup rijeci bio bi omogućen stubištima na svakih 50 m udaljenosti koje vode na obalnu šetnicu širine 1,5 m, sa uređenim privezištima za brodice na okomitom AB elementu obale (vijencu). Privezišta se izvode kao alke od INOX čelika koje su ubetonirane u prefabricirani AB vijenac pri izradi elementa. Sama hodna ploha obalne šetnice, se izvodi kao "in-situ" betonirana AB ploča sa ohrapavljenom plohom za pješake i pristup brodicama.

Pokos u nagibu 1:1 od šetnice pa do nogostupa je tlocrtne širine od 1,75 m i izведен je od lomljenog kamena u betonu sa ispunjenim reškama cementnim mortom. Predviđa se izvedba višeg stupnja obrade kamena sa relativno uskim reškama.

1.3. Tijek izvedbe

Kako je slijeganje obale predviđeno i očekivano s obzirom na vrstu temeljnog tla, uređenje obale na predmetnoj dionici se previđa izvesti u dvije faze. Prva faza obuhvaća izvedbu temeljne nožice i kamenog nasipa sa obaloutvrdom od krupnog kamena, u punom profilu budućeg uređenja. Prvo se izvodi temeljna nožica od krupnog kamena komada težine 50 – 75 kg, tj. promjera zrna 35 – 40 cm. Nasipavanje nožice se vrši sa plovnog objekta, uz stalnu kontrolu

postignutog oblika dok se ne dobije nasip širine krune 3 m na zadanoj koti sa pokosima u nagibu 1:2. Slijedeći korak je polaganje temeljnog madraca od sloja geotekstila sa kasetiranim kobama od geomreže na postojeći pokos i dno vodotoka sve do izvedene kamene nožice.

Slijedi pažljivo potapanje temeljnog madraca nasipanjem sa obale (strojno i po potrebi ručno), materijalom sitnije granulacije (0-32 mm) i poravnavanjem do projektiranog nagiba materijalom do veličine zrna od cca 10 - 15 cm, a završava se izradom obaloutvrde sa slojem debljine 50 cm krupnog kamena promjera zrna 35 – 40 cm, pod vodom roliranog pomoću bagera sa dugom rukom. Na visini od 1,00 m n.m. izvodi se berma širine 1,0 m sa površinom uređenom kamenom školjerom debljine 15 cm. Berma je veći dio vremena iznad površine vode, tako da za vrijeme izgradnje služi kao radni plato za izvedbu uređenja pokosa iznad berme do ceste, a u eksploataciji kao revizijska staza za održavanje obale.

U toj fazi se predviđa površinu dobivenog prostora uz cestu urediti drobljenim tamponskim materijalom, za potrebe lokalnog stanovništva, ugraditi kontrolne geodetske točke i pratiti slijeganje obale. Izvedeni kameni nasip na mjestu buduće proširene ceste, parkinga i nogostupa se od temeljnog tla odvaja slojem geokompozita. Geokomposit se sastoji od sloja razdjelnog geotekstila i sloja geomreže. Geotekstil se postavlja na kontakt sa temeljnim tlom dok se geomreža sidri u AB element ploče šetnice.

Kad se slijeganje izvedene prve faze smanji do razine od 3 mm od prethodnog mjerena, slijedi nastavak radova na drugoj fazi koja obuhvaća izvedbu novog nasipa, parkinga, nogostupa, obalne šetnice sa vezovima i stubištima i uređenje kamenom betonskog pokosa u nagibu 1:1. Vanjski rub obalne šetnice izvodi se od prefabriciranih betonskih elemenata vijenca, pojedinačne duljine elementa od 2 m. Na jednom elementu izvedena su dva vezna mjesta za brodice.

1.4. Osnovni podaci o uređenju obale

Osnovne veličine usvojene za urenjenje desne obale rijeke Neretve u Kominu:

- duljina uređene desne obale → 498,84 m
- širina pločnika uz desnu obalu → 1,20 m
- duljina pločnika uz desnu obalu → 480,00 m
- širina obalne šetnice → 1,50 m
- duljina obalne šetnice → 480,00 m
- nagib uređenog pokosa obale → 1:2
- nagib kamenom betonske obloge → 1:1

1.5. Poduzete mjere za uređenje obale

Sanacijom desne obale rijeke Neretve od km 7+210,16 do 7+709,00 uklanjaju se postojeći bespravno sagrađeni objekti (nasuta i betonirana parkirališta, pristaništa za čamce i stepeništa prema rijeci) i smeće. Zatečeno smeće i građevni otpad nastao uklanjanjem bespravno sagranenih objekata na obali uklonit će se na trajnu deponiju.

Sanacijom desne obale rijeke Neretve na navedenoj dionici nastaje: šetnica uz rijeku, urenena pristaništa za čamce, stepeništa za pristup rijeci i dodatna parkirališna mjesta. Uređenjem desne obale osigurana je zaštita obale od erozivnog djelovanja vode.

1.6. Terenski istražni radovi

Terenski istražni radovi sastojali su se od:

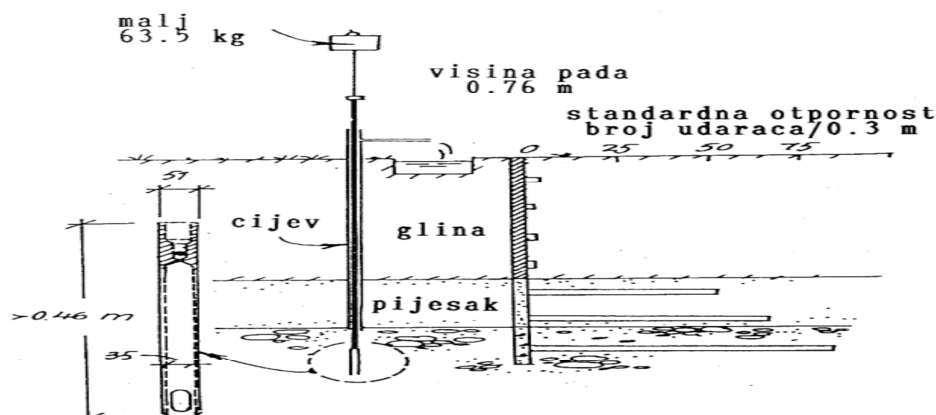
- istražnog bušenja i klasifikacije bušecih jezgri
- uzorkovanja poremećenih i neporemećenih uzoraka
- terenskog ispitivanja džepnim penetrometrom na jezgri bušenja
- ispitivanja relativne zbijenosti metodom SPT (standardni penetracijski test)
- praćenja pojave i razine podzemne vode u bušotinama za vrijeme istražnih radova

Standardni penetracijski test

Mjeri se otpor prodiranju standardnog noža u vidu broja potrebnih udaraca N (broj udaraca/30 cm).

Sonda/uzorkivač:

- nož – sitnozrna tla; šiljak – krupnozrna tla
- korekcija: $N_{\text{nož}} = N_{\text{šiljak}} * (0.7 - 0.75)$



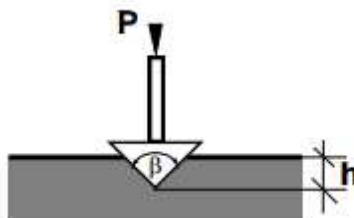
Slika 1.1. Standardni penetracijski test (SPT)

Ispitivanje džepnim penetrometrom

Vicat (1846)

$$q_c = \frac{P}{A}$$

gdje je A površina poprečnog presjeka stošca na dubini prodiranja h sa slike.



Slika 1.2. Princip džepnog penetrometra

$$P = \pi * K * c * (h * \operatorname{tg} \beta / 2)^2$$

odnosno za $\beta=90^\circ$:

$$P = \pi * K * c * h^2$$

odnosno:

$$c = \frac{P}{\pi * K * h^2}$$

Pokusima je utvrđeno da vrijedi odnos: $8 \leq K * \pi \leq 12$.

1.7. Laboratorijski istražni radovi

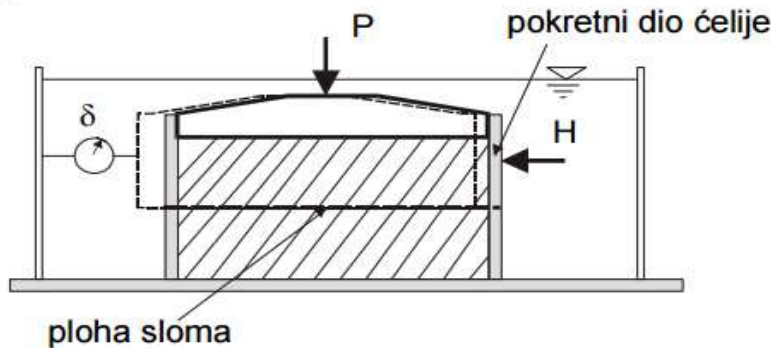
Laboratorijskim istražnim radovima za ispitivane uzorke tla analizirana su sljedeća svojstva tla:

- granulometrijski sastav
- specifična gustoća te zapreminska vlažna i suha gustoća
- konzistencija tla - Atterbergove granice, prirodna vlažnost
- parametri čvrstoće izravnim smicanjem
- modul stišljivosti tla u edometru
- vodopropusnost u edometru
- jednoosna pritisna čvrstoća

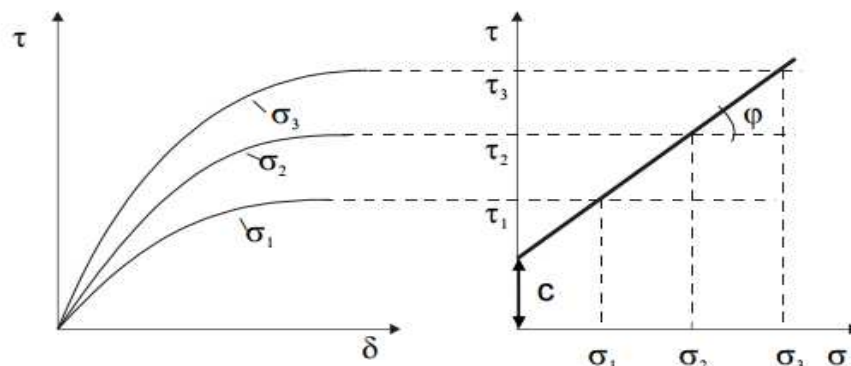
Pokus izravnog smicanja

Izvode se najmanje tri pokusa (EC 7 traži 5 pokusa) sa različitom silom opterećenja P :

$$\sigma = \frac{P}{F} \quad \tau = \frac{H}{F}$$



Slika 1.3. Princip rada čelije za pokus izravnog smicanja



Slika 1.4. Dijagrami ovisnosti posmične čvrstoće i horizontalne deformacije i posmičnog i normalnog naprezanja
Pokus se izvodi dovoljno sporo da se osigura da je tijekom trajanja pokusa porni tlak u = 0.

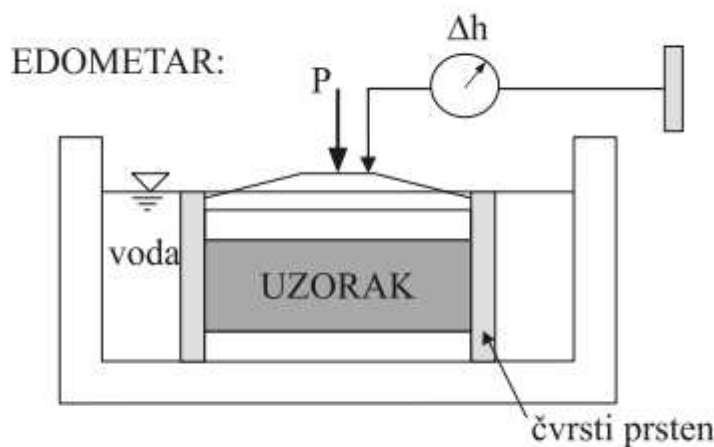
Izmjerene vrijednosti parametara posmične čvrstoće određene su u *konsolidiranim dreniranim* uvjetima:

$$c = c'$$

$$\varphi = \varphi'$$

Edometar

Edometar je vrlo često korišteni laboratorijski uređaj kojim se ponavlja sprječenost horizontalnih deformacija u tlu i u tim se uvjetima ispituje stišljivost tla. Ugrađuje se neporemećeni uzorak, mjeri se početna visina, te promjena visine tijekom opterećivanja.



Slika 1.5. Princip rada edometra

2. Odabir parametara tla

Svi neophodni proračuni za dobivanje karakterističnih i računskih parametara tla (osrednjavanje vrijednosti parametara tla dobivenih terenskim i laboratorijskim istražnim radovima, množenje odgovarajućim korekcijskim faktorima) provedeni su u programu:

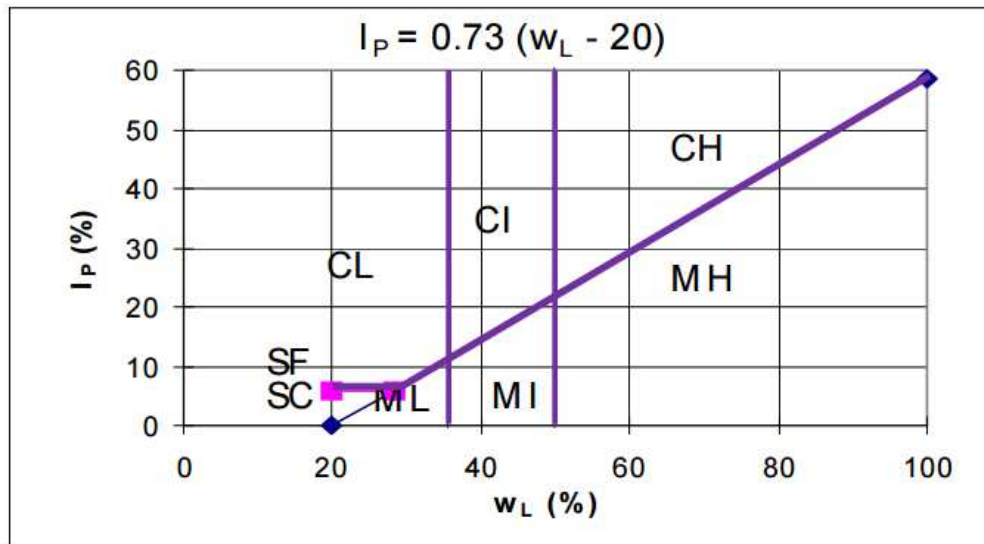
- Microsoft Excel 2007 → program za obradu računalnih podataka

2.1. Klasifikacija tla

Na temelju terenskih istražnih radova i laboratorijskih ispitivanja uzoraka izvađenih iz dviju sondažnih bušotina možemo odrediti kojoj vrsti tla pripada pojedini sloj, odnosno pomoću poznatih vrijednosti granica tečenja (w_L) i granica plastičnosti (w_P) izvađenih uzoraka, možemo odrediti indeks plastičnosti (I_p). Naime, vrijedi da je:

$$I_p = w_L - w_P [\%].$$

Nakon određivanja indeksa plastičnosti za svaki pojedini uzorak možemo, uz poznatu vezu granice tečenja i indeksa plastičnosti, izvršiti klasifikaciju svakog uzorka koristeći dijagram plastičnosti A. Casagrande-a.

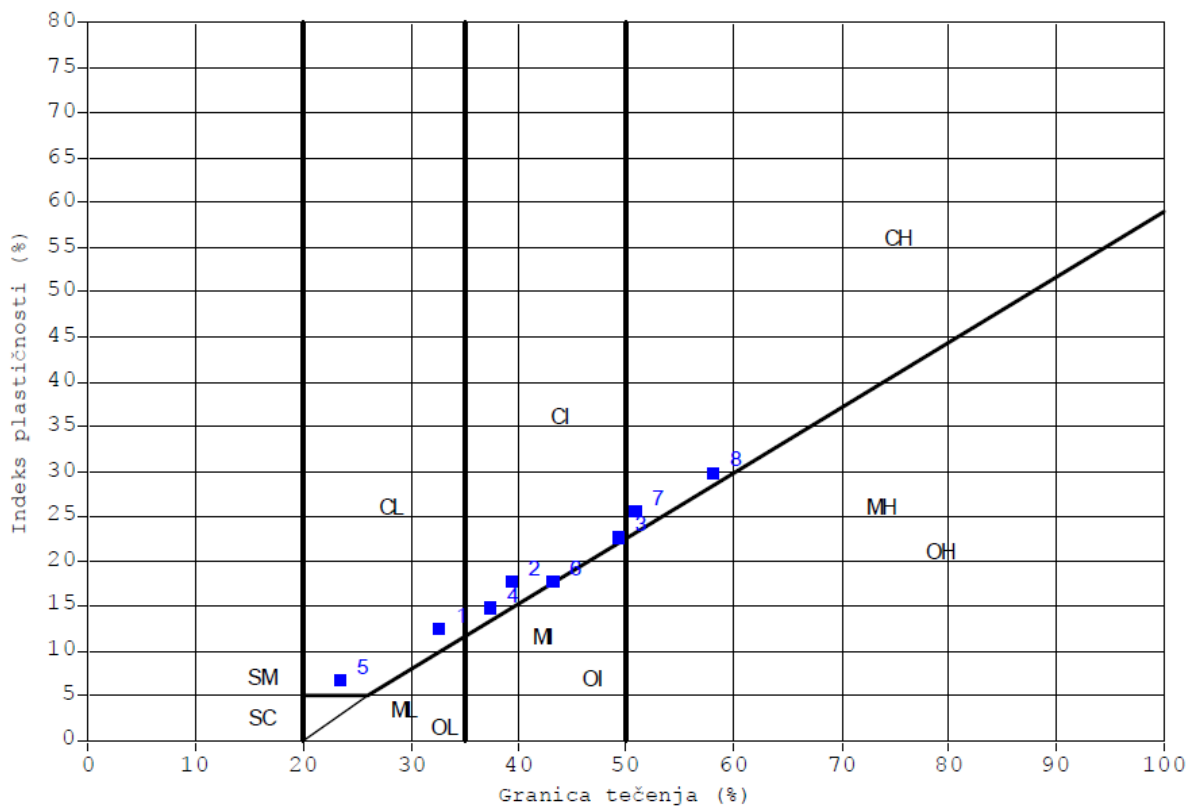


Slika 2.1. Dijagram plastičnosti (A. Casagrande)

Vrijednosti granica tečenja, granica plastičnosti, indeksa plastičnosti te simboli za vrstu gline kojoj pripada pojedini uzorak izvađen iz bušotine S-131-13-01 prikazani su u sljedećoj tablici:

Tablica 2.1. Klasifikacija uzorka iz bušotine S-131-13-01

Redni broj uzorka	Dubina [m]	w _L [%]	w _P [%]	I _P [%]	Simbol
1.	1,7-1,8	32,51	20,06	12,45	CL
2.	2,0-2,2	39,38	21,46	17,92	CI
3.	3,3-3,5	49,25	26,61	22,64	CI
4.	6,0-6,2	37,37	22,44	14,93	CI
5.	7,5-8,0	23,28	16,59	6,69	CL
6.	13,7-13,8	43,15	25,29	17,86	CI
7.	17,2-17,3	50,74	25,09	25,65	CH
8.	19,4-19,6	58,08	28,27	29,81	CH

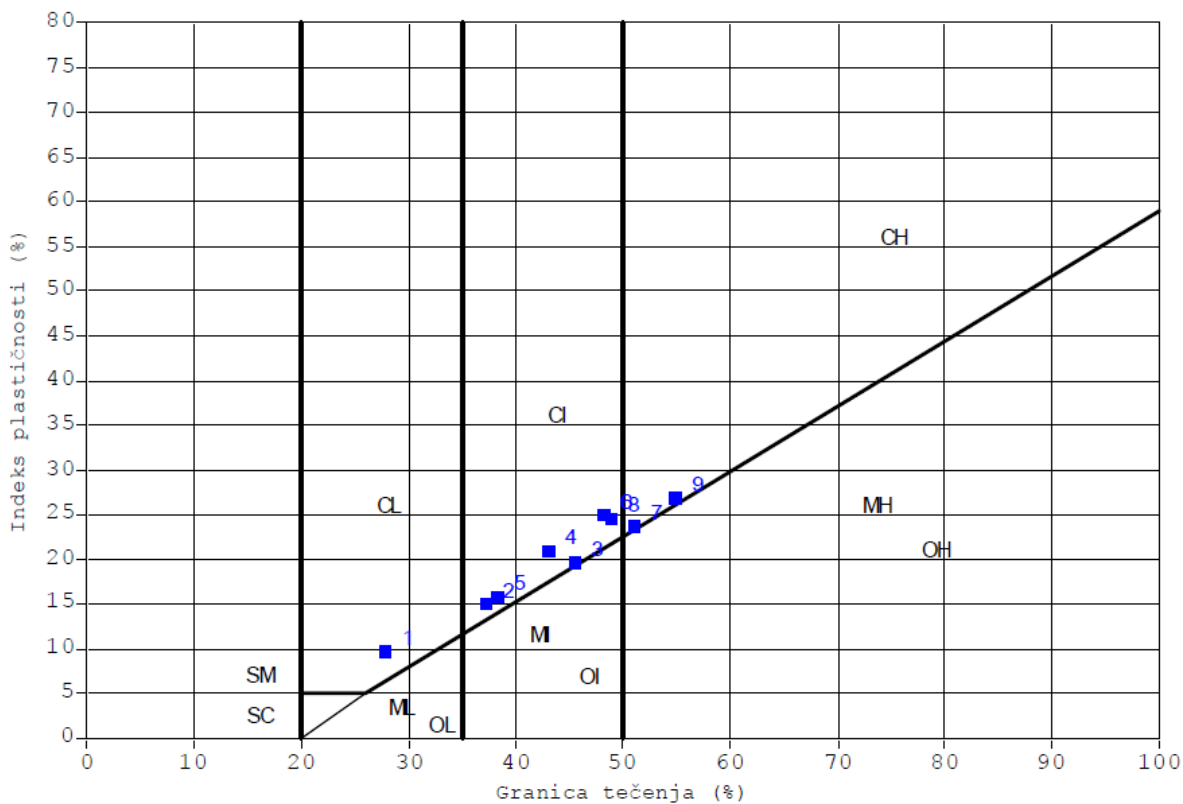


Slika 2.2. Grafički prikaz klasifikacije uzoraka iz bušotine S-131-13-01 (A. Casagrande)

Vrijednosti granica tečenja, granica plastičnosti, indeksa plastičnosti te simboli za vrstu gline kojoj pripada pojedini uzorak izvađen iz bušotine S-131-13-02 prikazani su u sljedećoj tablici:

Tablica 2.2. Klasifikacija uzoraka iz bušotine S-131-13-02

Redni broj uzorka	Dubina [m]	w _L [%]	w _P [%]	I _P [%]	Simbol
1.	1,9-2,0	27,72	18,01	9,71	CL
2.	2,9-3,0	37,13	22,08	15,06	CI
3.	4,8-4,9	45,44	25,61	19,83	CI
4.	8,0-8,3	43,06	22,11	20,95	CI
5.	10,0-10,3	38,18	22,36	15,82	CI
6.	12,3-12,5	48,08	23,07	25,01	CI
7.	14,6-14,7	51,05	27,26	23,79	CH
8.	15,8-15,9	48,84	24,32	24,52	CI
9.	19,8-19,9	54,76	27,73	27,05	CH



Slika 2.3. Grafički prikaz klasifikacije uzorka iz bušotine S-131-13-02 (A. Casagrande)

Klasifikacija tla po dubini dana je u sljedećoj tablici:

Tablica 2.3. Klasifikacija tla po dubini

Sloj	Dubina [m]
CL-CI→glina srednje do niske plastičnosti	1,75-4,20
CI→glina srednje plastičnosti	4,20-15,60
CH→glina visoke plastičnosti	15,60-20,00

Napomena: dubine su mjerene od najviše točke nasipa, tj kota **±0,00 m n.m.** predstavlja najvišu točku nasipa u geotehničkom profilu tla.

2.2. Karakteristične vrijednosti parametara tla

Zbog male količne istražnih radova, na osnovi izmjerenih i korigiranih veličina, odabiremo karakteristične vrijednost na način da korigiramo srednju vrijednost dobivenih parametara prema Orr&Farrell (1999):

Tablica 2.4. Korekcija parametara tla prema Orr&Farrell (1999):

PARAMETAR TLA	SIMBOL	KOREKCIJA
tangens efektivnog kuta trenja	$\text{tg } \phi'$	0,95
efektivna kohezija	c'	0,80
nedrenirana čvrstoća	c_u	0,85
edometarski modul	E_{oed}	0,80
gustoća	ρ	1,00

Nakon statističke obrade i izvođenja potrebnih parametara pomoću empirijskih korelacija, potrebno je izvršiti odabir parametara tla koji će se pridružiti pojedinom sloju da bi se formirao geotehnički profil.

Tako za vrijednosti efektivnog kuta trenja iz laboratorijskih istraživanja imamo poznatu jednu vrijednost kuta unutrašnjeg trenja i to za sloj CL-CI, a za preostale slojeve prilikom određivanja istog uzeta je korelacija s indeksom plastičnosti:

$$\sin \phi' = 0,8 - 0,094 * \ln(I_p) [\%].$$

Nadalje, određene su vrijednosti tangensa efektivnog kuta trenja te smo izvršili korekciju srednjih vrijednosti izračunatih tangensa kuteva koristeći korekcijske faktore navedene u tablici 2.4. kako bi dobili karakteristične vrijednost i efektivnih kuteva trenja za svaki sloj.

Tablica 2.5. Vrijednosti efektivnih kuteva trenja uzoraka iz bušotine S-131-13-01

uzorak dubina [m]	I _p [%]	sin φ'	φ' [°]	tg φ'
1 1,70-1,80	12,45	0,562958	34,26	0,681132
2 2,00-2,20	17,92	0,528724	31,92	0,622929
3 3,30-3,50	22,64	0,506746	30,45	0,587870
4 6,00-6,20	14,93	0,545883	33,09	0,651643
5 7,50-8,00	6,69	0,621342	38,41	0,792874
6 13,70-13,80	17,86	0,529039	31,94	0,623414
7 17,20-17,30	25,65	0,495013	29,67	0,569696
8 19,40-19,60	29,81	0,480885	28,74	0,547711

Tablica 2.6. Vrijednosti efektivnih kuteva trenja uzoraka iz bušotine S-131-13-02

uzorak-dubina [m]	I _p [%]	sin φ'	φ' [°]	tg φ'
1 1,90-2,00	9,71	0,586323	35,90	0,723879
2 2,90-3,00	15,06	0,545068	33,03	0,650152
3 4,80-4,90	19,83	0,519204	31,28	0,607532
4 8,00-8,30	20,95	0,514039	30,93	0,599199
5 10,00-10,30	15,82	0,54044	32,71	0,642235
6 12,30-12,50	25,01	0,497388	29,83	0,573401
7 14,60-14,70	23,79	0,502089	30,14	0,580613
8 15,80-15,90	24,52	0,499248	29,95	0,576187
9 19,80-19,90	27,05	0,490017	29,34	0,562092

Nadalje, vrijednosti efektivne kohezije uzete su na temelju iskustvene procjene osim u slučaju efektivne kohezije srednje plastične gline (CL-CI) za koju nam je poznata vrijednost dobivena iz laboratorijskih istraživanja.

Vrijednosti nedrenirane posmične čvrstoće uzete su na temelju rezultata iz geotehničkih istražnih radova tako da je za svaki sloj određena srednja vrijednost te su izvršene korekcije faktorima navedenim u tablici 2.4. kako bi se dobile karakteristične vrijednosti.

Tablica 2.7. Osrednjene vrijednosti nedrenirane posmične čvrstoće uzoraka iz dviju bušotina

SLOJ	CL-CI	CH
$\overline{c_u}$ [kPa] BUŠOTINA S-131-13-01	31,5	46
$\overline{c_u}$ [kPa] BUŠOTINA S 131-13-02	13,5	49

Iznimka je sloj CI gdje je na temelju laboratorijskog ispitivanja jednoosne tlačne čvrstoće uzorka izmjerena nedrenirana posmična čvrstoća koristeći korelaciju:

$$c_u = \frac{q_u}{2}, \text{ gdje je } q_u \text{ laboratorijski dobivena vrijednost jednoosne tlačne čvrstoće (} q_u=63[\text{kPa}]\text{).}$$

Gustoća, a time i zapreminska težina određena je na temelju vrijednosti dobijene laboratorijskim ispitivanjem:

$$\rho = 1,88 \text{ [g/cm}^3\text{]}; \gamma = 18,44 \text{ [kN/m}^3\text{]},$$

te je preuzeta ista vrijednost za sve glinene slojeve tla.

Odabrane karakteristične vrijednosti parametara materijala određene na temelju osrednjениh vrijednosti rezultata terenskih i laboratorijskih istražnih radova te korekcijom odgovarajućim faktorima prikazanim u tablici 2.4. , prikazane su tablično.

Tablica 2.8. Karakteristične vrijednosti parametara tla

VRSTA MATERIJALA	ZAPREMINSKA TEŽINA $\gamma [\text{kN/m}^3]$	NEDRENIRANA POSMIČNA ČVRSTOĆA $c_{uk} [\text{kPa}]$	KOHEZIJA $c_k' [\text{kPa}]$	EFEKTIVNI KUT TRENJA $\phi'_k [^\circ]$
NASIP	22	/	1,00	35,00
CL-CI	18,44	15,30	3,90	31,82
CI	18,44	31,50	7,00	30,80
CH	18,44	40,34	10,00	28,07
OBALOUTVRDA (KAMENI NABAČAJ)	22	/	1,00	40,00

- CL-CI → glina niske do srednje plastičnosti;
- CI → glina srednje plastičnosti
- CH → glina visoke plastičnosti

3. Analiza stabilnosti

3.1. Proračunski pristup

Potrebno je odrediti računski model tla te izvršiti analizu stabilnosti pokosa prema projektnom pristupu 3 sukladno EUROCODE -u 7. PP3 ima sljedeću kombinaciju grupa parcijalnih koeficijenata: A1+M2+R3

Tablica 3.1. Parcijalni faktori djelovanja (γ_F) i učinka djelovanja (γ_E)

Djelovanja	Simbol	A1
Stalno -nepovoljno	$\gamma_{G;dst}$	1,35
Stalno-povoljno	$\gamma_{G;stb}$	1,00
Promjenjivo-nepovoljno	$\gamma_{Q;dst}$	1,50
Promjenjivo-povoljno	$\gamma_{Q;stb}$	0,00

Tablica 3.2. Parcijalni faktori svojstva materijala (tlo, stijena) (γ_M)

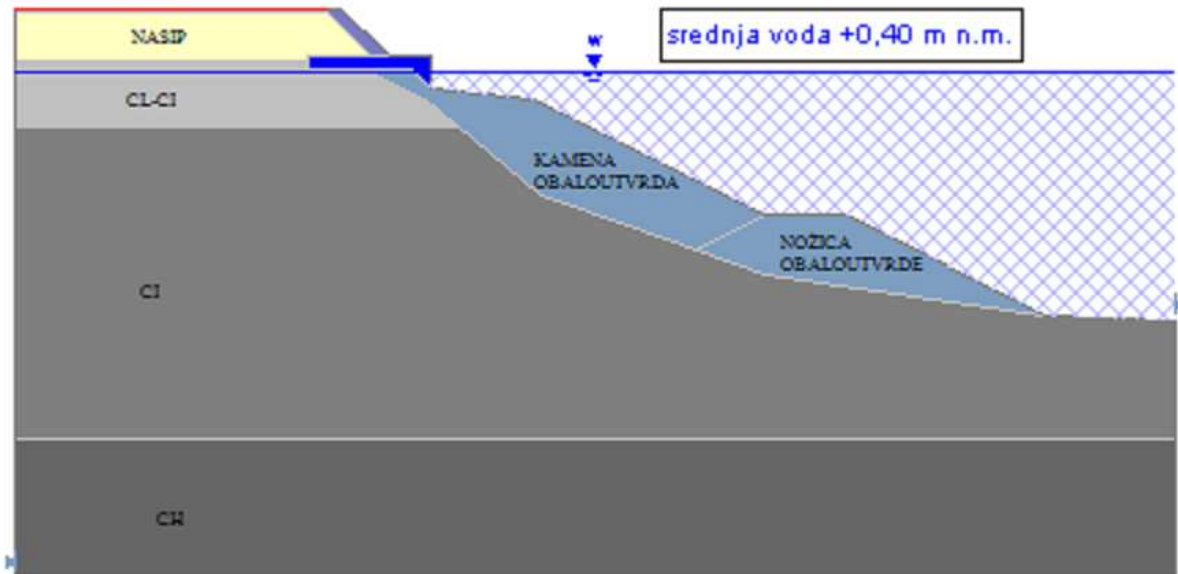
Svojstvo	Simbol	M2
Tangens efektivnog kuta trenja	$\gamma_{tg\phi'}$	1,25
Efektivna kohezija	γ_c'	1,25
Nedrenirana i jednoosna čvrstoća	γ_{cu} ili γ_{qu}	1,40

Tablica 3.3. Parcijalni faktori otpora (γ_R)

Otpornost	Simbol	R3
Potpore konstrukcije nosivost	$\gamma_{R;v}$	1,00
Klizanje	$\gamma_{R:h}$	1,00
Otpor tla	$\gamma_{R:e}$	1,00
Kosine i opća stabilnost tla	$\gamma_{R:e}$	1,00

3.2. Računski model tla

Model tla je odabran prema geotehničkim presjecima tla danim u podlogama, a za potrebe ovih analiza izrađen je model koji reprezentira desnu obalu Neretve. Korišten je sljedeći računski model tla:



Slika 3.1. Model tla

Kako bi dobili proračunske parametre tla, moramo reducirati karakteristične vrijednosti parametara tla odgovarajućim koeficijentima navedenim u tablici 3.2. na sljedeći način:

$$tg\varphi'_d = \frac{tg\varphi'_k}{\gamma_{tg\varphi'}} \text{ gdje je } \gamma_{tg\varphi'} = 1,25;$$

$$c'_d = \frac{c'_k}{\gamma_{c'}} \text{ gdje je } \gamma_{c'} = 1,25;$$

$$c_{ud} = \frac{c_{uk}}{\gamma_{cu}} \text{ gdje je } \gamma_{cu} = 1,40.$$

Proračunske vrijednosti parametara tla obale pruža tablica:

Tablica 3.4. Proračunske vrijednosti parametara tla

VRSTA MATERIJALA	ZAPREMINSKA TEŽINA $\gamma [\text{kN/m}^3]$	NEDRENIRANA POSMIČNA ČVRSTOĆA $c_{ud} [\text{kPa}]$	KOHEZIJA $c_d' [\text{kPa}]$	EFEKTIVNI KUT TRENJA $\varphi'_d [^\circ]$
NASIP	22,00	/	1,00	29,00
CL-CI	18,44	10,93	3,12	26,40
CI	18,44	22,97	5,60	25,50
CH	18,44	28,84	8,00	23,10
OBALOUTVRDA (KAMENI NABAČAJ)	22,00	/	1,00	34,00

3.3. Prikaz rezultata analize stabilnosti

Analiza stabilnosti pokosa provedena je za dvije projektne situacije:

- stanje eksplotacije → stalna/srednja voda na koti +0,40 m n.m. ;
- stalno opterećenje + potres.

Pri analizi stabilnosti pokosa za projektnu situaciju PS-1 (stalna voda) izvršeni su proračuni za drenirane i nedrenirane parametre gline, a u slučaju projektne situacije PS-2(stalna voda+potres) korišteni su nedrenirani parametri gline ($\phi'=0$). Zbog male količine podataka o nedreniranoj posmičnoj čvrstoći (c_u) preuzetoj iz terenskih i laboratorijskih istražnih radova, procijenjena nedrenirana posmična čvrstoća uzeta je kao približno 30-postotna vrijednost normalnih efektivnih naprezanja (korelacija $c_u \approx 0,3 * \sigma_v'$). Vrijednosti normalnih efektivnih naprezanja po dubini tla prikazane su:

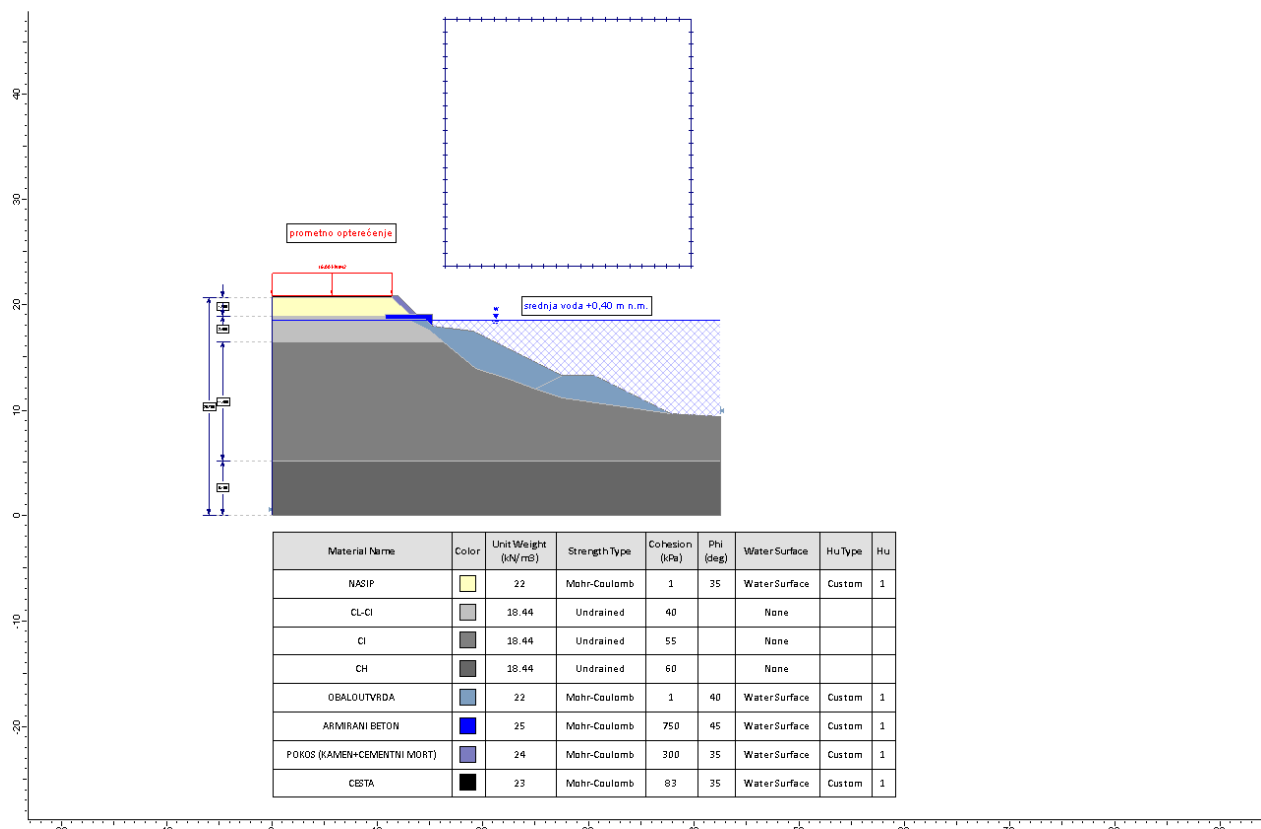
Tablica 3.5. Normalna efektivna naprezanja po dubini

DUBINA [m]	σ_v' [kPa]
0,00	/
1,75	38,50
4,20	59,18
15,60	155,39
20,70	198,43

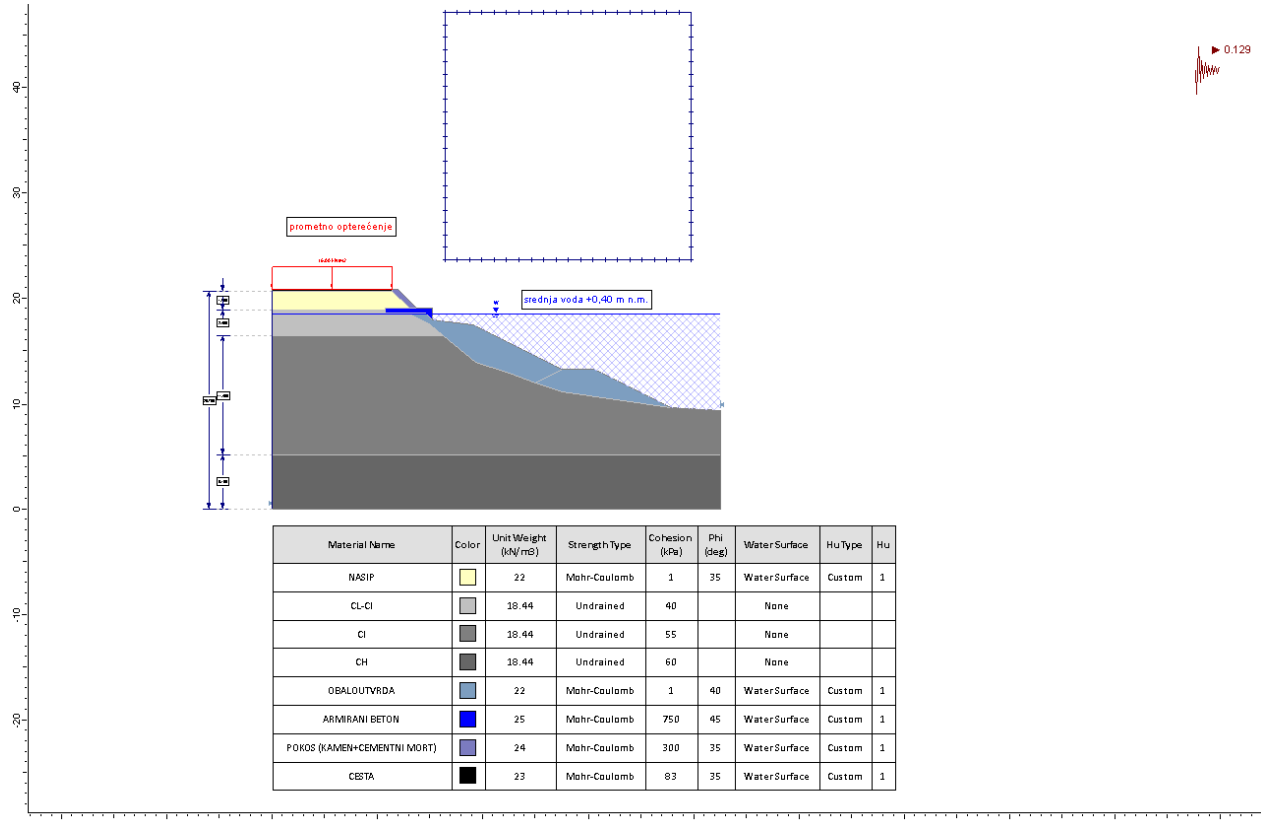
Napomena: zapreminska težina uronjenog tla umanjuje se za 10,00 [kN/m³] (uronjeni dio slojeva CL-CI, CI i CH imaju zapreminsku težinu $\gamma' = 8,44$ [kN/m³]).

Svi neophodni proračuni za potrebe analize stabilnosti pokosa provedeni su pomoću programa:

- SLIDE 6.0 → računalni program u sklopu programskog paketa ROCSCIENCE koji jednom od odabralih metoda granične ravnoteže (Bishop, Janbu, Morgenstern-Price itd.) omogućava neograničen broj računskih analiza stabilnosti po prepostavljenim cilindričnim ili cilindrično-poligonalnim plohama posmičnog sloma.



Slika 3.2. Opterećenje srednjom vodom na koti +0,40 m n.m.



Slika 3.3. Stalna voda + potres

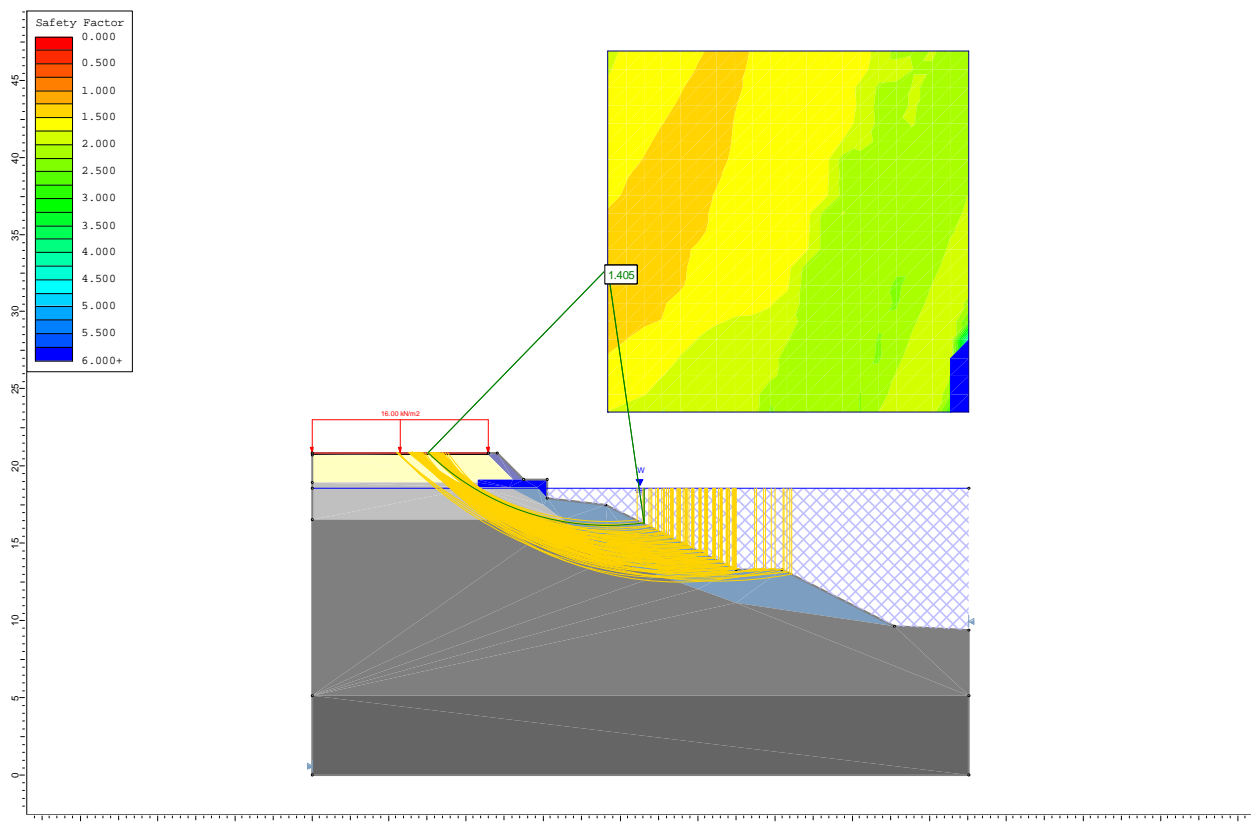
Kako bi se provela što preciznija analiza stabilnosti pokosa, proračuni koji su provedeni na modelu, obuhvaćali su dvije projektne situacije.

Tablica 3.6. Vrijednosti minimalnih faktora sigurnost za zadane projektne situacije

Oznaka projektne situacije	Vrsta projektne situacije	$F_s \text{ min}$
PS-1	Stanje eksploracije – stalna voda	1,30
PS-2	Stanje stalne vode + potres	1,00

PS-1 (stanje eksploracije-stalna voda na koti +0,40 m n.m.)-drenirani uvjeti

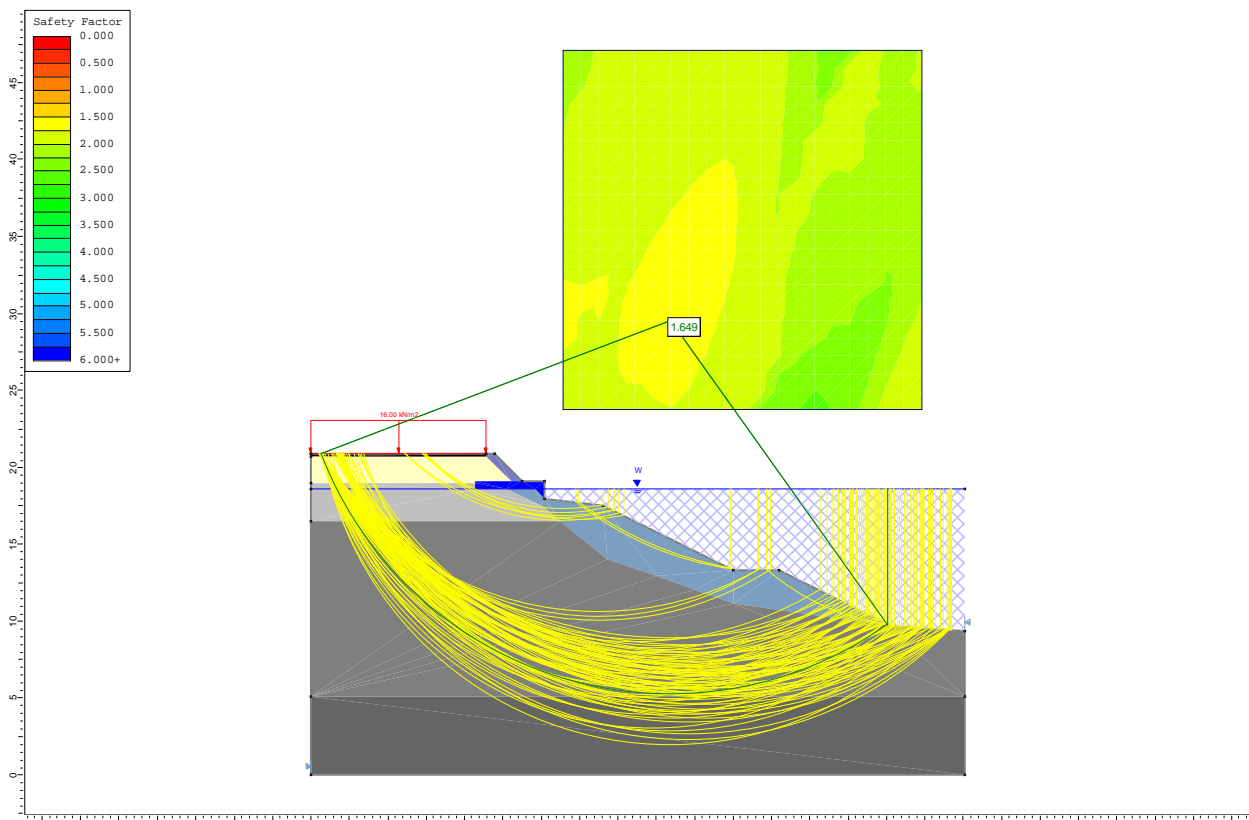
Oznaka projektne situacije	F_s	$F_s \text{ min}$
PS-1	1,405	1,30



Slika 3.4. Klizne plohe faktora sigurnosti manjeg od 1,50 (PS-1) za drenirane uvjete

PS-1 (stanje eksploracije-stalna voda na koti +0,40 m n.m.)-nedrenirani uvjeti

Oznaka projektne situacije	F_s	$F_{s \min}$
PS-1	1,649	1,30

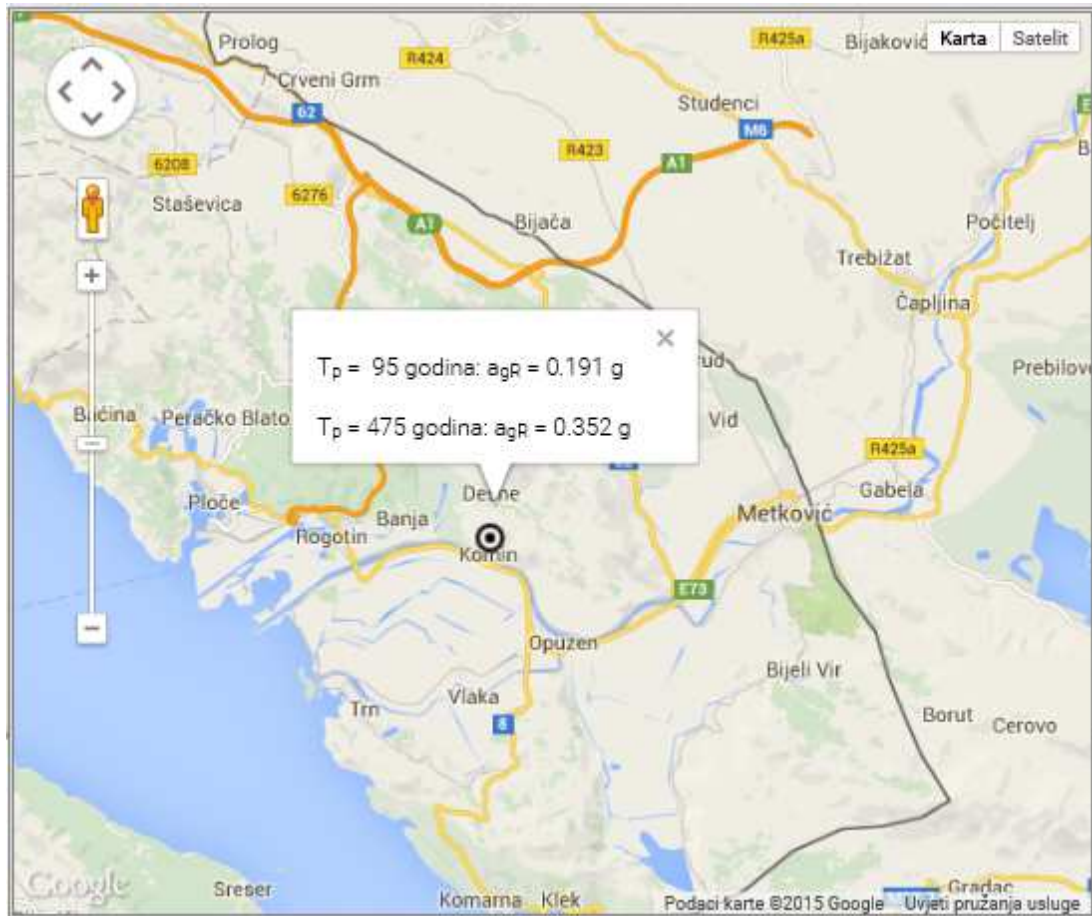


Slika 3.5. Klizne plohe faktora sigurnosti manjeg od 1,75 (za PS-1) za nedrenirane uvjete

Kontrola stabilnosti pokosa obale za projektnu situaciju PS-1, u kojoj je u obzir uzeto stalno opterećenje, tj. stalna/srednja voda na koti +0,40 m n.m., zadovoljava zadani kriterij, to jest minimalni faktor sigurnosti najkritičnije klizne plohe veći je od minimalnoga dozvoljenog faktora sigurnosti.

PS-2 (stalno opterećenje + potres)

Lokacija desne obale rijeke Neretve u mjestu Komin prema karti stupnja intenziteta potresa spada u VIII stupanj, te je prema tome i odabran utjecaj horizontalne seizmičke sile na klizno tijelo. Na karti potresnih područja Republike Hrvatske prikazani su iznosi horizontalnih vršnih ubrzanja tla za povratne periode $T_p = 95$ god i $T_p = 475$ god u jedinicama gravitacijskog ubrzanja ($1 g = 9,81 \text{ m/s}^2$) za mjesto Komin.



Slika 3.6. Karta potresnih područja Republike Hrvatske

Analiza stabilnosti na potres definirana je za slučaj eksploatacije pri kojem djeluje potres. Naponsko stanje pri nastupu potresa simulirano je kao dodatna sila koja djeluje u težištu svake pojedine lamele. Dodatna sila je podijeljena na horizontalnu i vertikalnu komponentu, iznosi komponenti dodatne sile definirani su prema izrazima:

- horizontalna komponenta: $F_H = 0,5 \times a_g \times S \times W$
- vertikalna komponenta: $F_V = 0,5 \times F_H$

gdje su:

- a_g - ubrzanje tla izraženo postotkom gravitacije g , za predmetnu lokaciju
- $T_p=475$; $a_g = 0,352 \text{ g}$, a za $T_p=95$; $a_g = 0,191 \text{ g}$
- S – parametar tla prema tipovima tla iz EN 1998 – 1:2012, temeljno tlo je definirano kao tip D, stoga je $S=1,35$
- W – težina kliznog tijela (za potrebe proračuna uzima se 1,0)

Prema HRN EN 1998-1-1:2012:

Tablica 3.7. Vrijednosti koeficijenta S u ovisnosti o vrsti tla

EC8-00 TIP 1	S
tlo A $V_s > 800 \text{ m/s}$	1,00
tlo B $360 < V_s < 800 \text{ m/s}$	1,10
tlo C $180 < V_s < 360 \text{ m/s}$	1,35
tlo D $V_s < 180 \text{ m/s}$	1,35
tlo E ($h < 20 \text{ m}$)	1,40

Prema HRN EN 1998-1-1:2012:

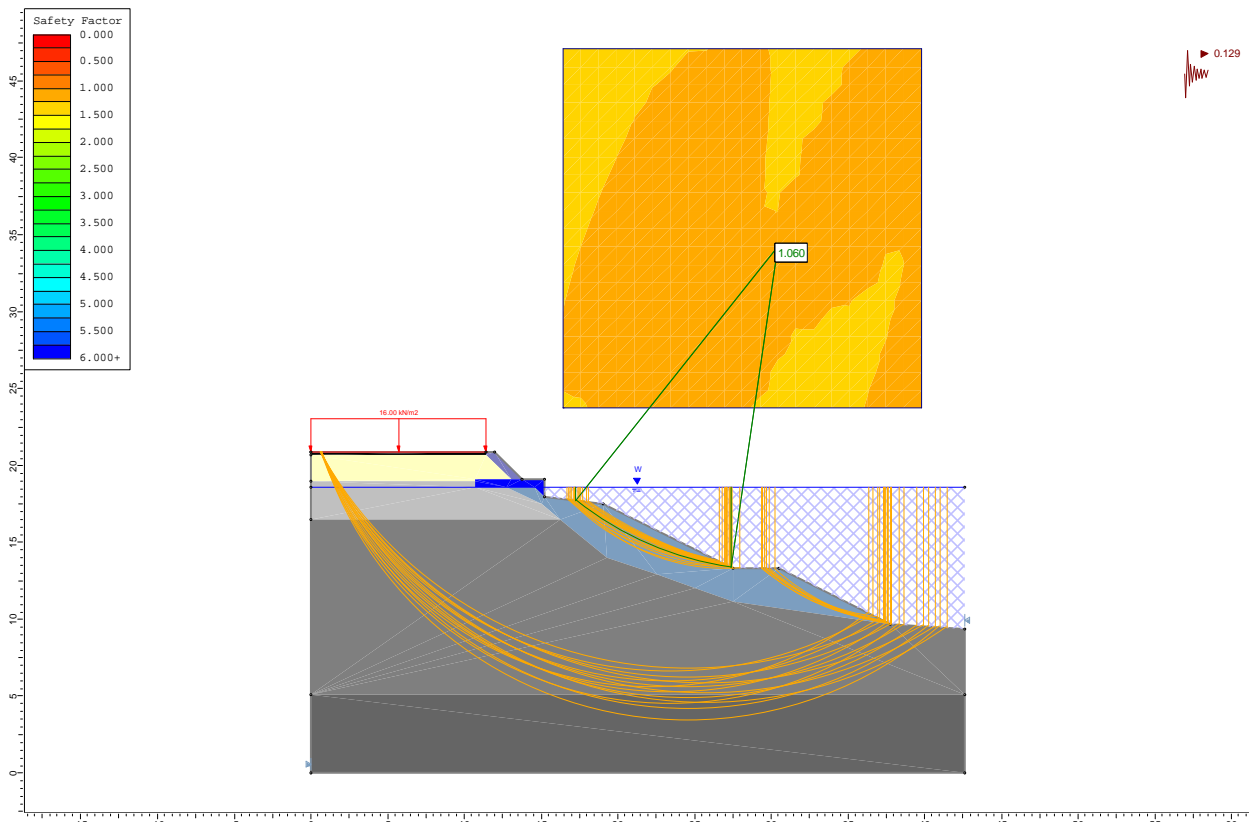
Tablica 3.8. Vrste tla

Tip tla	Opis stratigrafskog profila	Parametri		
		$V_{s,30}$ (m/s)	N_{SPT} (br. ud. /30 cm)	c_u (kPa)
A	Stijena ili slične geološke formacije s najviše 5 m slabog materijala na površini.	> 800	-	-
B	Naslage vrlo zbijenih pjesaka, šljunaka ili vrlo krute gline debljine nekoliko 10-aka m, sa svojstvom postupnog poboljšanja mehaničkih svojstava s dubinom	360 - 800	> 50	> 250
C	Naslage zbijenih ili srednje zbijenih pjesaka, šljunaka ili krutih glina debljine od nekoliko desetka do nekoliko stotina metara	180 - 360	15 – 50	70 - 250
D	Naslage rahlih do srednje zbijenih nekoherentnih tala (sa ili bez slojeva mekog koherentnog tla) ili prevladavajuće meka do čvrsta koherentna tla	< 180	< 15	< 70
E	Profil tla izgrađen od površinskih naslaga aluvija s vrijednostima V_s za tipove tla C ili D, debljine 5-20 m, ispod kojih se nalazi krući materijal s vrijednostima $V_s > 800 \text{ m/s}$.			
S_1	Naslage koje su u potpunosti izgrađene ili sadrže sloj meke gline/praha s visokim indeksom plastičnosti ($PI > 40$) i visokom vlažnosti, a čija debljina je 10 m ili više	< 100	-	10 - 20
S_2	Naslage tala podložnih likvefakciji, osjetljive gline ili bilo drugi profil tla koji nije naveden u tipovima od A do S_1			

Za povratni period $T_p=95$ god dobivene su sljedeće vrijednosti horizontalne i vertikalne komponente:

- horizontalna komponenta: $F_H=0,5*0,191g*1,35*1,0= 0,129g$
- vertikalna komponenta: $F_V=0,5*0,129g= 0,064g$

Oznaka projektne situacije	F_s	$F_{s \min}$
PS-2	1,060	1,00



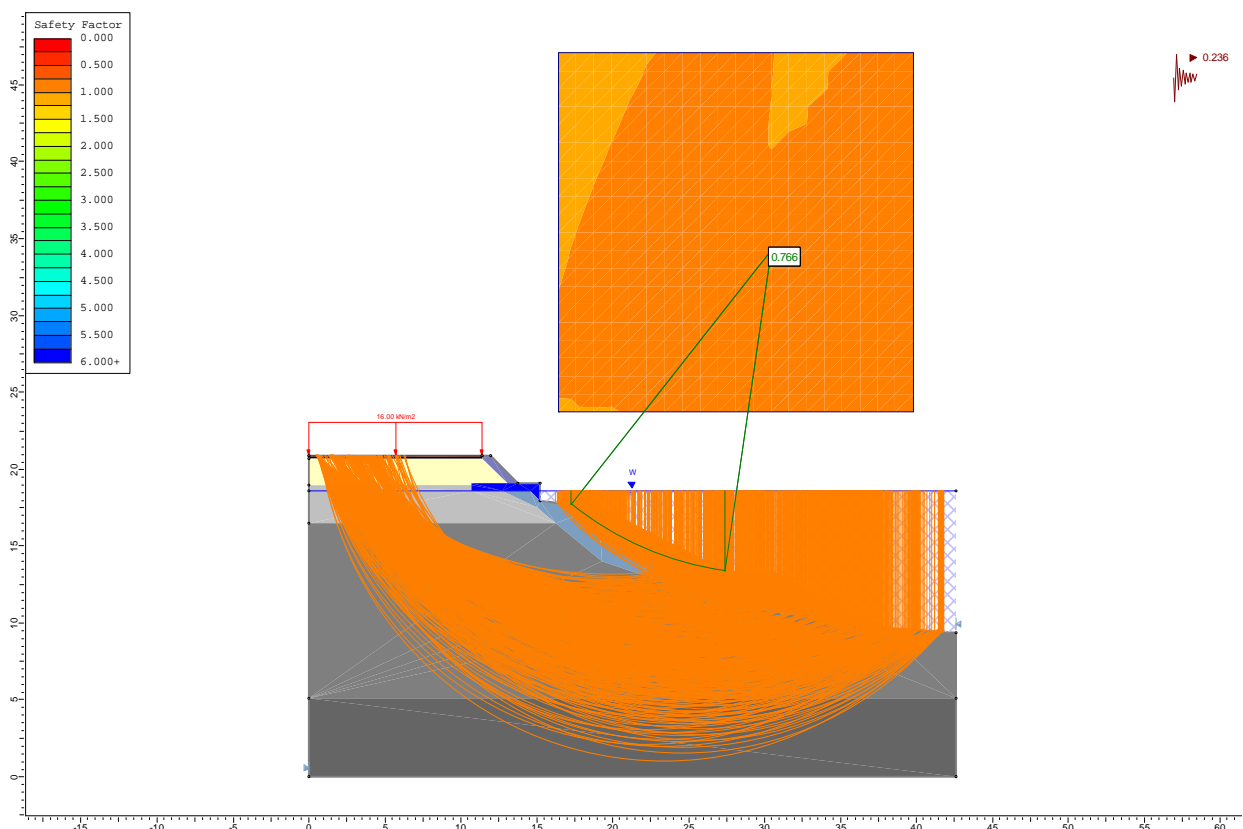
Slika 3.7. Klizne plohe faktora sigurnosti manjeg od 1,10 ($T_p=95$ god)

Kontrola stabilnosti pokosa obale za projektnu situaciju PS-2, u kojoj su u obzir uzeti stalno opterećenje i potresno opterećenje s povratnim periodom od 95 godina, zadovoljava zadani kriterij, to jest minimalni faktor sigurnosti najkritičnije klizne plohe veći je od minimalnoga dozvoljenog faktora sigurnosti.

Za povratni period $T_p=475$ god vrijednosti horizontalne i vertikalne komponente iznose:

- horizontalna komponenta: $F_H=0,5*0,35g*1,35*1,0=0,236g$
- vertikalna komponenta: $F_V=0,5*0,236g=0,118g$

Oznaka projektne situacije	F_s	$F_{s \min}$
PS-2	0,766	1,00



Slika 3.8. Klizne plohe faktora sigurnosti manjeg od 1,00 ($T_p= 475$ god)

Kontrola stabilnosti pokosa obale za projektnu situaciju PS-2, u kojoj su u obzir uzeti stalno opterećenje i potresno opterećenje s povratnim periodom od 475 godina, ne zadovoljava zadani kriterij, to jest minimalni faktor sigurnosti najkritičnije klizne plohe manji je od minimalnoga dozvoljenog faktora sigurnosti.

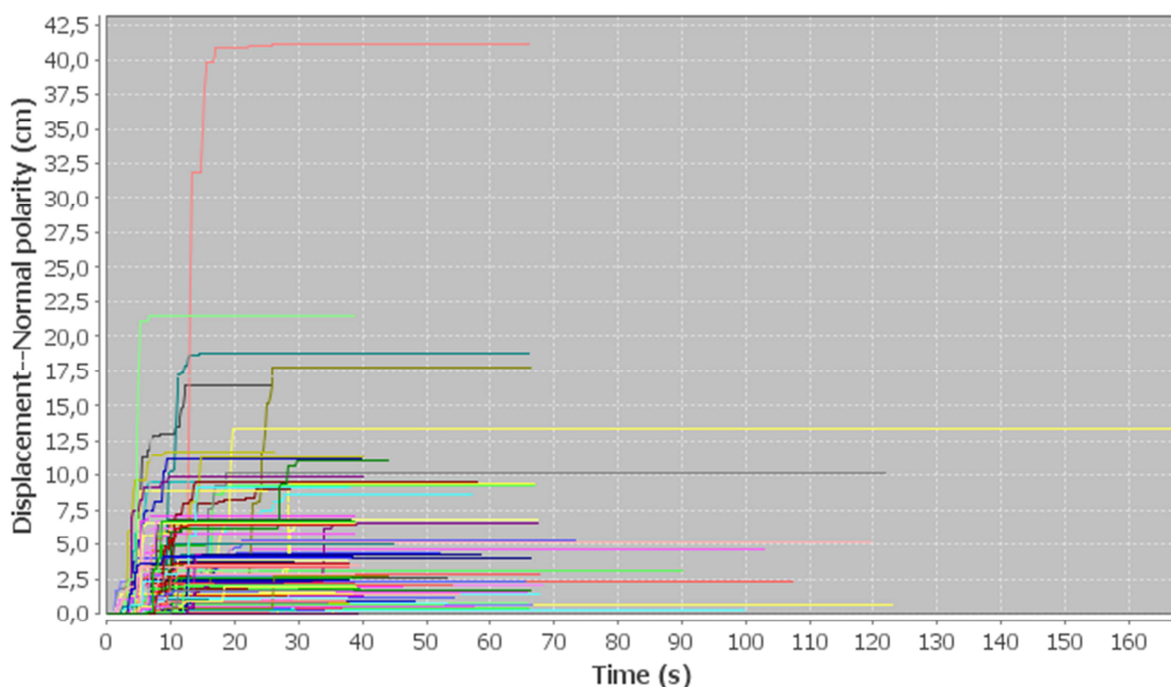
Napomena: na slici 3.7. prikazane su sve klizne plohe s faktorom sigurnosti manjim od $F_{s \min}=1,00$, odnosno sve klizne plohe koje ne zadovoljavaju polazni kriterij minimalnog dozvoljenog faktora sigurnosti.

4. Zaključak

Vidi se da gotovo čitava obalna konstrukcija ne zadovoljava kriterij minimalnoga dozvoljenog faktora sigurnosti ($F_{s\ min} = 1,00$) u slučaju stelnog opterećenja i potresa s povratnim periodom od 475 godina (slika 3.8.) dok u slučaju opterećenja stelnom/srednjom vodom na koti +0,40 m n.m. (slika 3.4. i slika 3.5.) i u slučaju kombinacije stelnog i potresnog opterećenja s povratnim periodom od 95 godina (slika 3.7.) obalna konstrukcija zadovoljava kriterije minimalnih faktora sigurnosti. U slučaju da se potres s povratnim periodom od 475 godina dogodi te izazove značajnije pomake uslijed kojih će doći do gubitka stabilnosti pokosa, a time i obalne konstrukcije (obaloutvrde), potrebno je provesti ponovnu sanaciju te riješiti problem stabilnosti nekom drugom metodom. Neke od metoda su: zamjena glinenog (osnovnog) materijala nekim drugim materijalom koji ima bolja svojstva; armiranje tla geotekstilom ili geomrežom; izvedba mlazno injektiranih pilota itd.

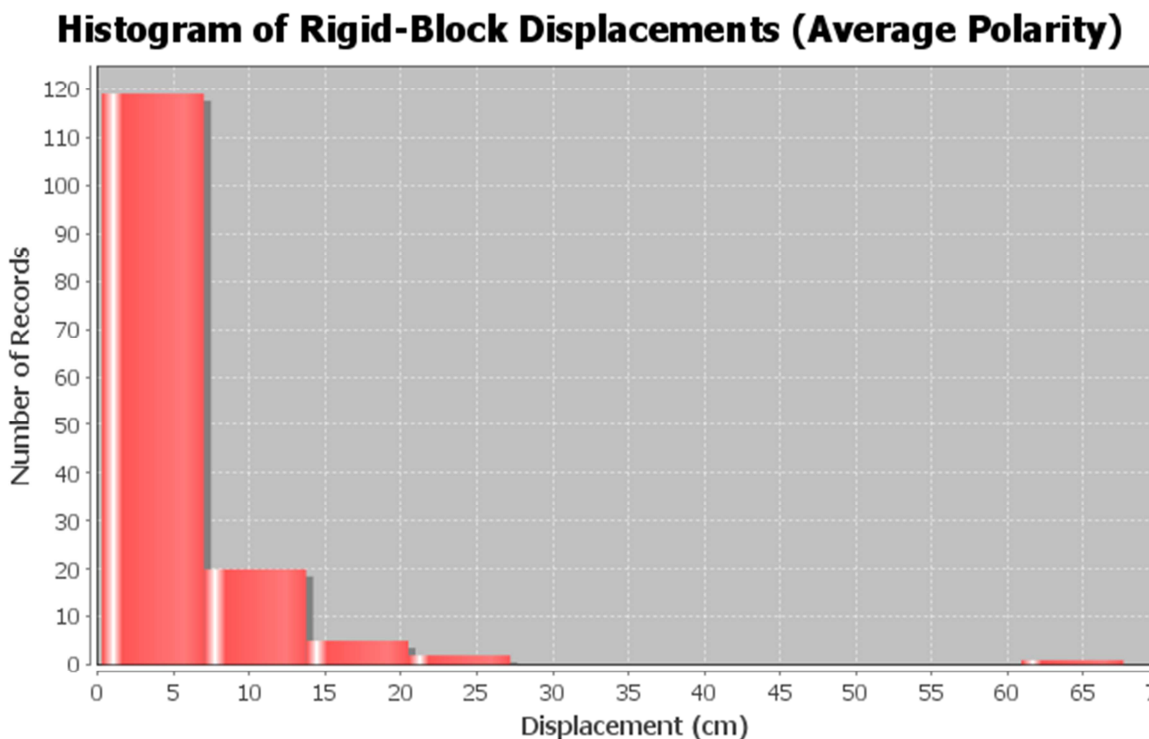
Za potres s povratnim periodom od 475 godina napravljen je dodatni proračun u programu SLAMMER, odnosno određeni su dijagrami ovisnosti pomaka tla i vremena trajanja potresa. Nakon toga, određeni su histogrami učestalosti pomaka uzrokovanih pojedinim potresom. Maksimalnu vrijednost pomaka odredit ćemo po tome koji pomak, generiran potresom, ima najveću učestalost u određenom razdoblju za koje smo bilježili posljedice (pomake tla) uzrokovane potresom.

Rigid-Block Displacement versus Time



Slika 3.8. Dijagram pomaka (generiranih potresima) u ovisnosti o vremenu

SLAMMER (Seismic LAndslide Movement Modeled using Earthquake Records) je program Američkog Ministarstva unutarnjih poslova osmišljen za procjenu ponašanje kosina tijekom potresa. Program omogućuje izbor između više od 2.100 zapisa iz 28 potresa, ali i omogućuje korisnicima unošenje vlastite evidencije zbirci. Program uključuje strogu i pojednostavljenu metodu krutog bloka, te analizu fleksibilnih kliznih blokova.



Slika 3.9. Histogram relativne učestalosti pomaka za promatrane potrese

U našem slučaju, ograničit ćemo se na potresno opterećenje s povratnim periodom koji iznosi $T_p = 95$ god. koji generira manje potresne sile i manje deformacije od potresa s povratnim periodom $T_p = 475$ god., ali se smatra da su te sile dovoljno mjerodavne.

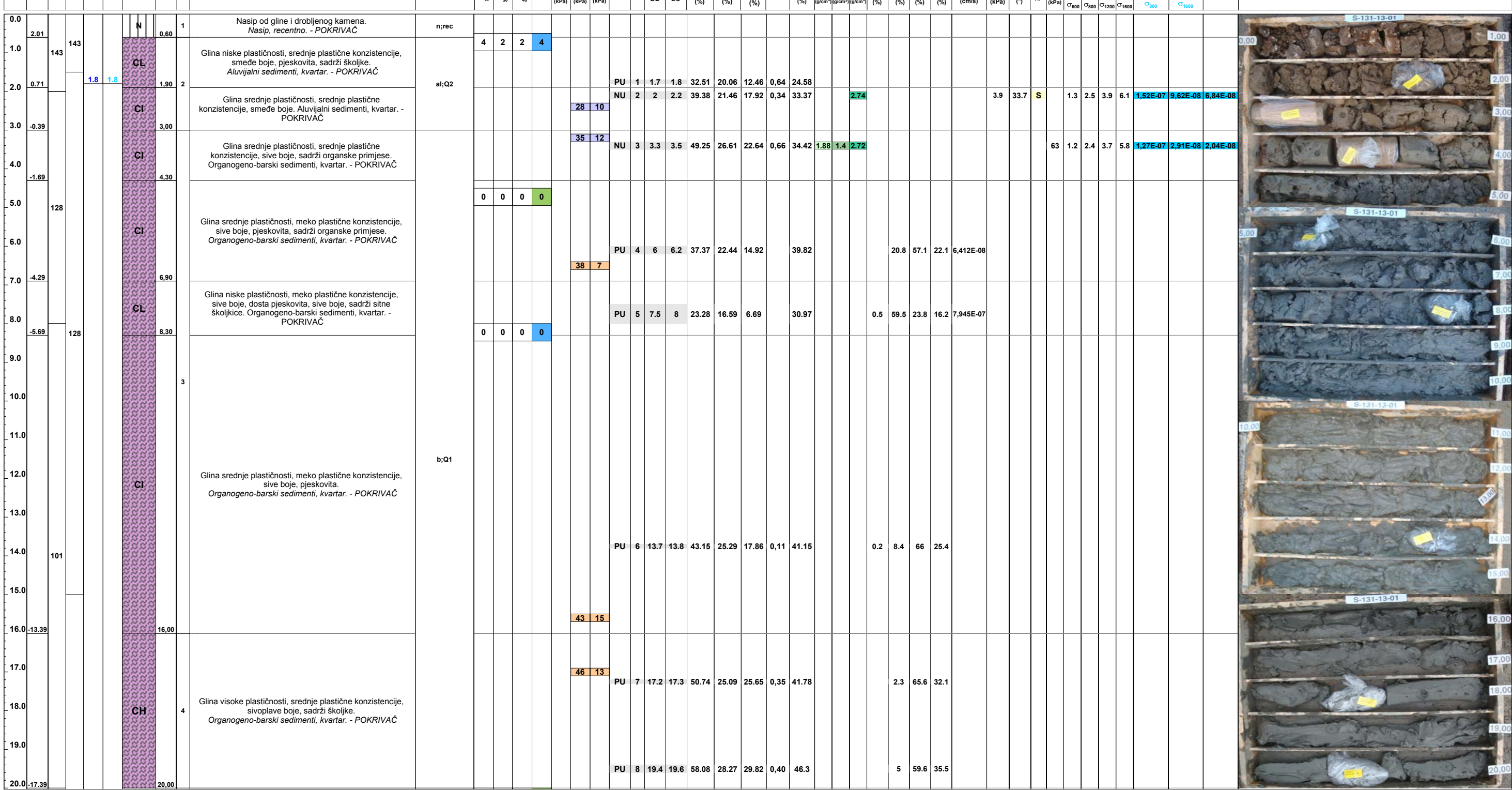
Maksimalni dozvoljeni pomak, za slučaj potresa s povratnim periodom od 475 godina, iznosi 5 cm (pomak s najvećom učestalosti među promatranim mjerjenjima). U slučaju da se zabilježe pomaci veći ili jednaki od 5 cm prilikom djelovanja potresa, koji će ugroziti stabilnost obalouvrde, treba izvršiti ponovnu sanaciju obale.

5. Literatura

- cigla.gradst.hr (2015) Nastavni materijali: predavanja iz kolegija Mehanika tla i temeljenje, <http://cigla.gradst.hr/moodle26/mod/folder/view.php?id=2678> (pristupljeno: 04.07.2015.)
- cigla.gradst.hr (2015) Nastavni materijali: vježbe iz kolegija mehanika tla i temeljenje, <http://cigla.gradst.hr/moodle26/mod/folder/view.php?id=3385> (pristupljeno: 04.07.2015.)
- dracomerx.com (2012) Dracoterm priručnik za izvođenje, http://www.dracomerx.com/wordpress/wp-content/uploads/2012/03/dracoterm_prirucnikzaizvodjenje.pdf (pristupljeno: 06.07.2015.)
- kb.plaxis.nl (2009) Mohr-Coulumb parameters for modelling concrete structures <http://kb.plaxis.nl/sites/kb.plaxis.nl/files/kb-publications/Iss25%20Art2%20-%20Mohr-Coulomb%20Parameters%20for%20Modelling%20of%20Concrete%20Structures.pdf> (pristupljeno: 06.07.2015.)
- seizkarta.gfz.hr (???) Karte potresnih područja Republike Hrvatske, <http://seizkarta.gfz.hr/karta.php> (pristupljeno: 06.07.2015.)
- bib.irb.hr (2009) Procjena lokalnih uvjeta tla i mikrozoniranje, https://bib.irb.hr/datoteka/392971.5_Savj_HGD_Osijek_18.pdf (pristupljeno: 06.07.2015.)

6. Prilozi

U ovome poglavlju prikazani su terenski i laboratorijski istražni radovi te inžinjerskogeološka situacija područja gradnje, prognozni inžinjerskogeološki presjeci te normalni presjek kroz tlo i obalnu konstrukciju nakon završetka gradnje.



UZORCI:		TERENSKA ISPITIVANJA:		LEGENDA	KRILNA SONDA (TIP):	VODOPROPUSNOST U EDOMETRU / TROSOJNOJ ĆELIJI:		NAPOMENE:	 Geokon - Zagreb d.d. ZA PROJEKTIRANJE, NADZOR I RAZVOJ U GRADITELJSTVU
POREMEĆENI UZORCI		STANDARDNI PENETRACIJSKI TEST:	3		Torvane	- Edometar			
POREMEĆENI UZORCI	6	DŽEPNA KRILNA SONDA:	2	STANDARDNI PENETRACIJSKI TEST (SPT):	IZRAVNI POSMIK:	TROSONO TLAČNO ISPITIVANJE:	GUSTOĆA MASE / GUSTOĆA MASE ČESTICA:		ELABORAT BR.: E-131-13-01
NEPOREMEĆENI UZORCI	2	DŽEPNI PENETROMETAR:	0						PRILOG: 2 STRANICA BR.: 1
KERN	0	KRILNA SONDA:	3	- Nož $N = (N_{50} \cdot k_{n0}) + (N_{45} \cdot k_{s0})$ - Šiljak $\hat{S} = 0,75 \cdot N$ "- Odskakanje pribora (>50) $(k_{sp}=1,25)$	S Standardni R Reversni KT Krey - Tiedemann	UU Nekonsolidirani nedrenirani CU Konsolidirani nedrenirani CD Konsolidirani drenirani	Ukupna gustoća mase Ukupna gustoća mase - suha Gustoća mase čestica		

UZORCI:		TERENSKA ISPITIVANJA:		LEGENDA	KRILNA SONDA (TIP):	VODOPROPUSNOST U EDOMETRU / TROSOJU ĆELIJI:		NAPOMENE:	 Geokon - Zagreb d.d. ZA PROJEKTIRANJE, NADZOR I RAZVOJ U GRADITELJSTVU
		STANDARDNI PENETRACIJSKI TEST:	3		Torvane Geonor	- Edometar - Trosoja ćelija			
POREMEĆENI UZORCI	6	DŽEPNA KRILNA SONDA:	2						
NEPOREMEĆENI UZORCI	2	DŽEPNI PENETROMETAR:	0						
KERN	0	KRILNA SONDA:	3						

INVESTITOR: HRVATSKE VODE VODNOGOSPODARSKI ODJEL ZA SLIVOVE JUŽNOG JADRANA SPLIT, Vukovarska 35		TERENSKA KLASIFIKACIJA: Goran Krajinović BUŠAČ: Zlatko Dankić BUŠAČA GARNITURA: Commachio Geo 205 VODITELJ: Gordan Vrana, dipl. ing. rud.										KOORDINATE UŠĆA BUŠOTINE: Y: 4766759.223 X: 6461761.581 KOTA UŠĆA BUŠOTINE (mn.m.): Z: 2.4		POČETAK BUŠENJA: 04.02.2014. KRAJ BUŠENJA: 04.02.2014.		GRAĐEVINA: Uređenje desne obale rijeke Neretve na potezu od km 7+202,56 do km 7+746,87 LOKACIJA: Desna obala rijeke Neretve u Kominu									
		Geotehnički presjek bušotine: S-131-13-02 Mjerilo: 1:100																							

DUBINA (m)	NADMORENSKA VISINA (mm,m.)	PROMjer IZZRENE Cijevi (mm)	PROMjer ZASTITNE kolone (mm)	PPV (m)	RPV (m)	SIMBOL	INTERVAL (m)	GRUPA MATERIJALA	OPIS TLA	LITOSTRATIGRAFIJA	STANDARDNI PENETRACIJSKI TEST (BR. UDARACA)	DŽEPNI PENETROMETAR	KRILNA SONDA	VRSTA UZORKA	INTERVAL (m)	GRANICE PLASTICNOSTI	INDEX PLASTICNOSTI	INDEX KONZISTENCIJE	SADRŽAJ VODE	UKUPNA GUSTOĆA MASE / GUSTOĆA MASE ČESTICA	GRANULOMETRIJSKI SASTAV	VDP USBR	KONSOLIDIRANO ISPITIVANJE IZRAVNIM POSMIKOM / TROOSNO TLACNO ISPITIVANJE	EDOMETARSKO ISPITIVANJE STIHLJIVOSTI JEDNOŠNA TLAČNA ČVRSTOCΑ (MPa)	VODOPROPUSNOST U EDOMETRU / TROOSNOJ ĆELJI	k (cm/s)	FOTODOKUMENTACIJA JEZGRE
------------	-------------------------------	-----------------------------------	------------------------------------	---------	---------	--------	--------------	------------------	----------	-------------------	--	------------------------	-----------------	--------------	-----------------	-------------------------	-----------------------	------------------------	-----------------	---	----------------------------	-------------	--	--	--	-------------	--------------------------

21.0										0 0 2 2															
------	--	--	--	--	--	--	--	--	--	---------	--	--	--	--	--	--	--	--	--	--	--	--	--	--	--

UZORCI:		TERENSKA ISPITIVANJA:		LEGENDA	KRILNA SONDA (TIP): Torvane Geonor	VODOPROPUSNOST U EDOMETRU / TROOSNOJ ĆELJI: - Edometar - Troosna čelija	NAPOMENE:	Geokon - Zagreb d.d. ZA PROJEKTIRANJE, NADZOR I RAZVOJ U GRADITELJSTVU
		STANDARDNI PENETRACIJSKI TEST:						
POREMEĆENI UZORCI	9	DŽEPNA KRILNA SONDA:	4					
NEPOREMEĆENI UZORCI	0	DŽEPNI PENETROMETAR:	0					
KERN	0	KRILNA SONDA:	4					

STANDARDNI PENETRACIJSKI TEST (SPT):
█ - Nož N=(N₅₀*k₆₀)*N(N₄₅*k₆₀)
█ - Šiljak Š=0,75*N
'' - Odsakanje pribora (>50)
(k₆₀=1,25)

IZRAVNI POSMIK:
█ Standardni
█ Reversni
█ Krey - Tiedemann

TROOSNO TLACNO ISPITIVANJE:
█ Nekonsolidirani nedrenirani
█ Konsolidirani nedrenirani
█ Konsolidirani drenirani

GUSTOĆA MASE /
GUSTOĆA MASE ČESTICA:
█ Ukupna gustoća mase
█ Ukupna gustoća mase - suha
█ Gustoća mase čestica

ELABORAT BR.: E-131-13-01

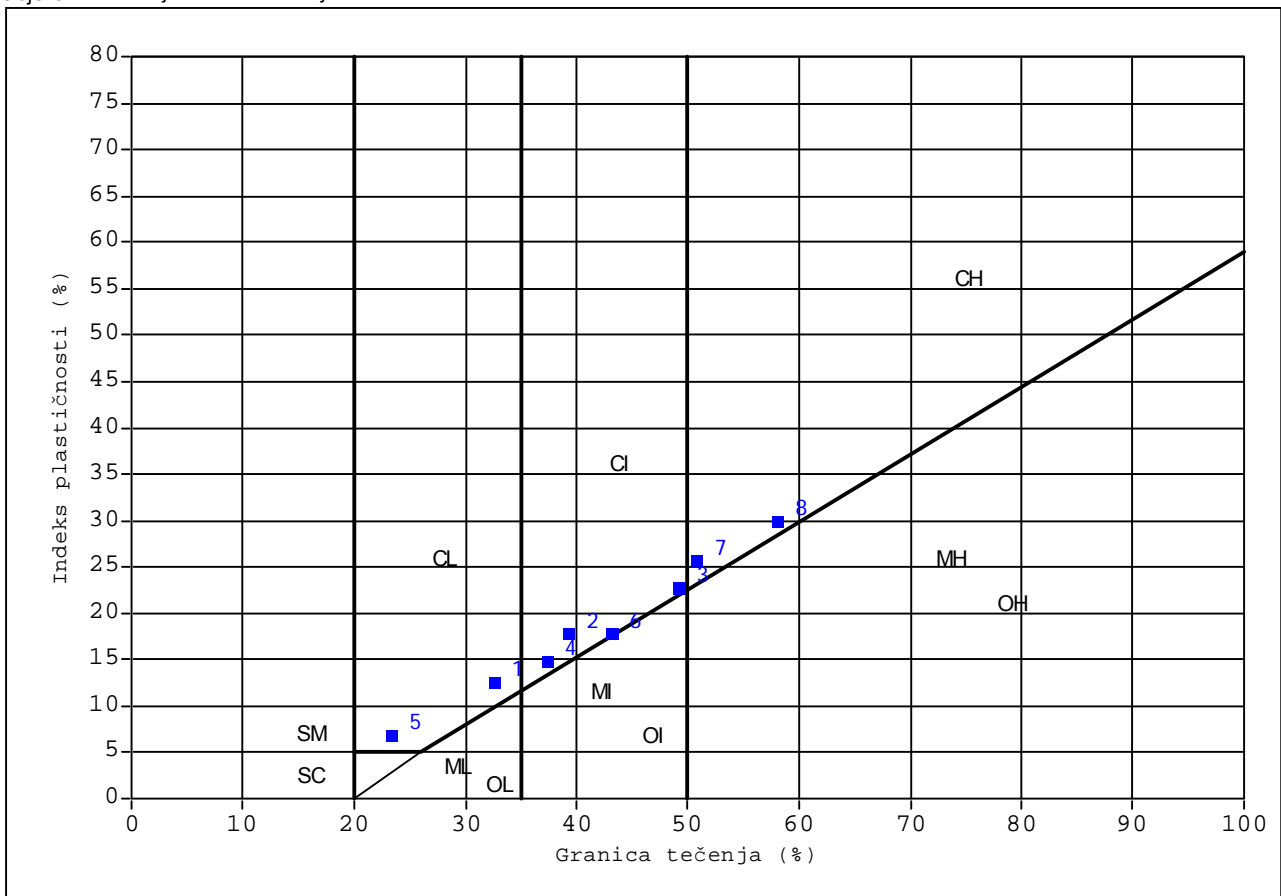
PRILOG: 3

STRANICA BR.: 2

Lokacija : Komin

Datum izrade izvještaja: 12.2.2014

Objekt : Sanacija desne obale rijeke Neretve



rbr.	bušotina/jama/ stacionaža	dubina / kota (m)	oznaka JLO ispitivanja	simbol	wl (%)	wp (%)	IP (%)	os (%)	pv / ps
1	S-131-13-01	1,70-1,80	S-131-13-01-01-1-05	CL	32,51	20,06	12,46	0,00	pv
		Skoljnice							
2	S-131-13-01	2,00-2,20	S-131-13-01-02-1-05	CI	39,38	21,46	17,92	0,00	pv
		Konkrecije do 2 mm							
3	S-131-13-01	3,30-3,50	S-131-13-01-03-1-05	CI	49,25	26,61	22,64	0,00	pv
		Skoljnice							
4	S-131-13-01	6,00-6,20	S-131-13-01-04-1-05	CI	37,37	22,44	14,92	0,00	pv
5	S-131-13-01	7,50-8,00	S-131-13-01-05-1-05	CL	23,28	16,59	6,69	0,00	pv
		Školjnice							
6	S-131-13-01	13,70-13,80	S-131-13-01-06-1-05	CI	43,15	25,29	17,86	0,00	pv
		Školjnice							
7	S-131-13-01	17,20-17,30	S-131-13-01-07-1-05	CH	50,74	25,09	25,65	0,00	pv
		Školjnice							
8	S-131-13-01	19,40-19,60	S-131-13-01-08-1-05	CH	58,08	28,27	29,82	0,00	pv
		Školjnice							

LEGENDA:

CH - Gлина anorganska visoke plastičnosti **CI** - Gлина anorganska srednje plastičnosti **MI** - Prah srednje plastičnosti
CL - Gлина anorganska niske plastičnosti **OH** - Gлина organska visoke plastičnosti **SM** - Prašinasti pjesak
OI - Gлина organska srednje plastičnosti **OL** - Gлина organska niske plastičnosti **SC** - Zaglinjeni pjesak
OS - % oстатка na situ No.40(0,425mm) % **pv** - priprema u prirodno vlažnom stanju **ps** - priprema u suhom stanju

Ispitni izvještaj izradio: zamjenik voditelja laboratorija Branimir Veličković, dipl.ing.rud.

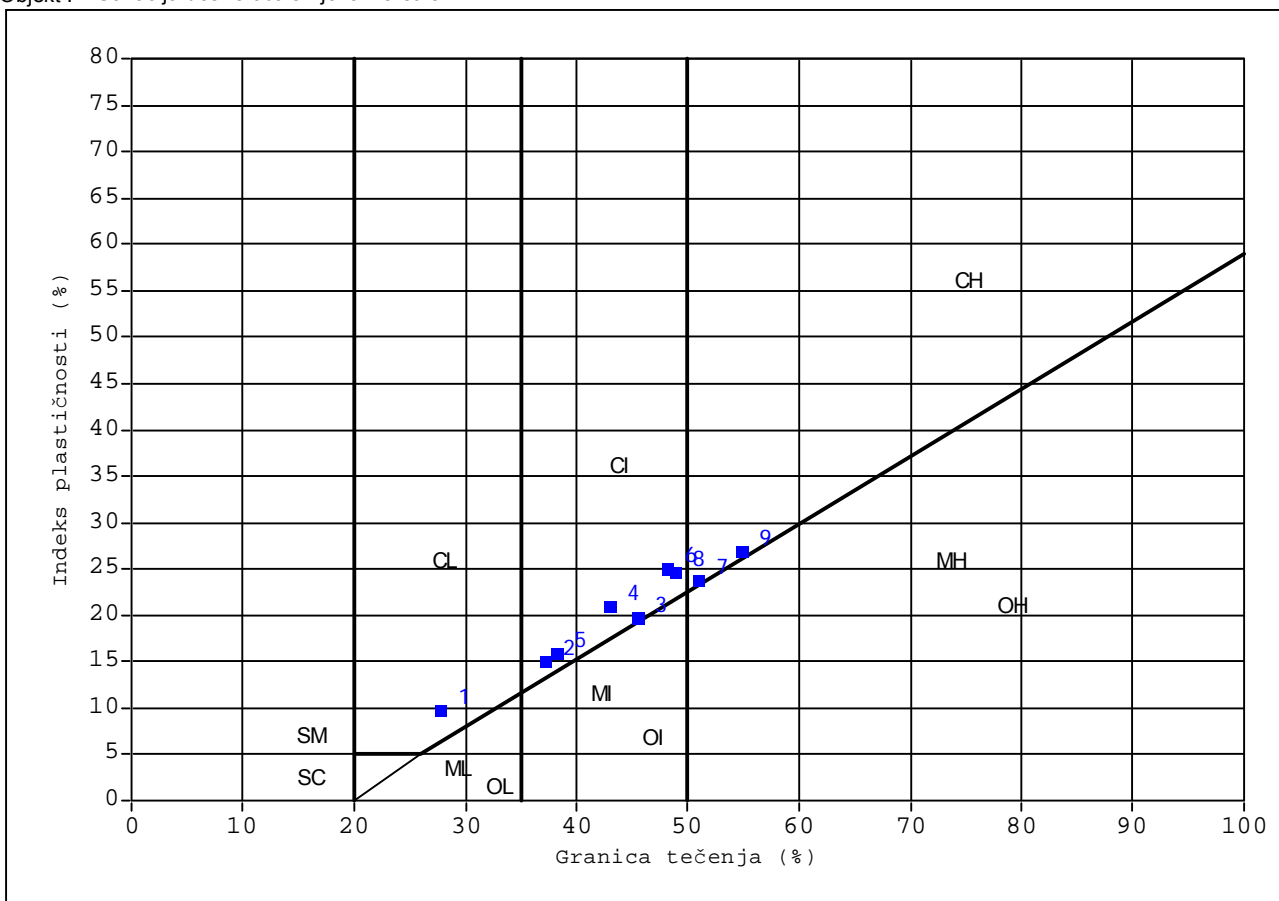
Datum ispisa: 13.2.2014



Lokacija : Komin

Datum izrade izvještaja: 12.2.2014

Objekt : Sanacija desne obale rijeke Neretve



rbr.	bušotina/jama/ stacionaža	dubina / kota (m)	oznaka JLO ispitivanja	simbol	wl (%)	wp (%)	IP (%)	os (%)	pv / ps
1	S-131-13-02	1,90-2,00	S-131-13-02-01-1-05	CL	27,72	18,01	9,71	0,00	pv
		Skoljkljice							
2	S-131-13-02	2,90-3,00	S-131-13-02-02-1-05	CI	37,13	22,08	15,06	0,00	pv
3	S-131-13-02	4,80-4,90	S-131-13-02-03-1-05	CI	45,44	25,61	19,83	0,00	pv
4	S-131-13-02	8,00-8,30	S-131-13-02-04-1-05	CI	43,06	22,11	20,95	0,00	pv
5	S-131-13-02	10,00-10,30	S-131-13-02-05-1-05	CI	38,18	22,36	15,82	0,00	pv
6	S-131-13-02	12,30-12,50	S-131-13-02-06-1-05	CI	48,08	23,07	25,01	0,00	pv
		Skoljkljice							
7	S-131-13-02	14,60-14,70	S-131-13-02-07-1-05	CH	51,05	27,26	23,79	0,00	pv
		Skoljkljice							
8	S-131-13-02	15,80-15,90	S-131-13-02-08-1-05	CI	48,84	24,32	24,52	0,00	pv
		Zaglinjeni pjesak							
9	S-131-13-02	19,80-19,90	S-131-13-02-09-1-05	CH	54,78	27,73	27,05	0,00	pv
		Skoljkljice							

LEGENDA:

CH - Gлина anorganska visoke plastičnosti **CI** - Gлина anorganska srednje plastičnosti **MI** - Prah srednje plastičnosti
CL - Gлина anorganska niske plastičnosti **OH** - Gлина organska visoke plastičnosti **SM** - Prašinasti pjesak
OI - Gлина organska srednje plastičnosti **OL** - Gлина organska niske plastičnosti **SC** - Zaglinjeni pjesak
OS - % oстатка na situ No.40(0,425mm) % **pv** - priprema u prirodno vlažnom stanju **ps** - priprema u suhom stanju

Ispitni izvještaj izradio: zamjenik voditelja laboratorija Branimir Veličković, dipl.ing.rud.

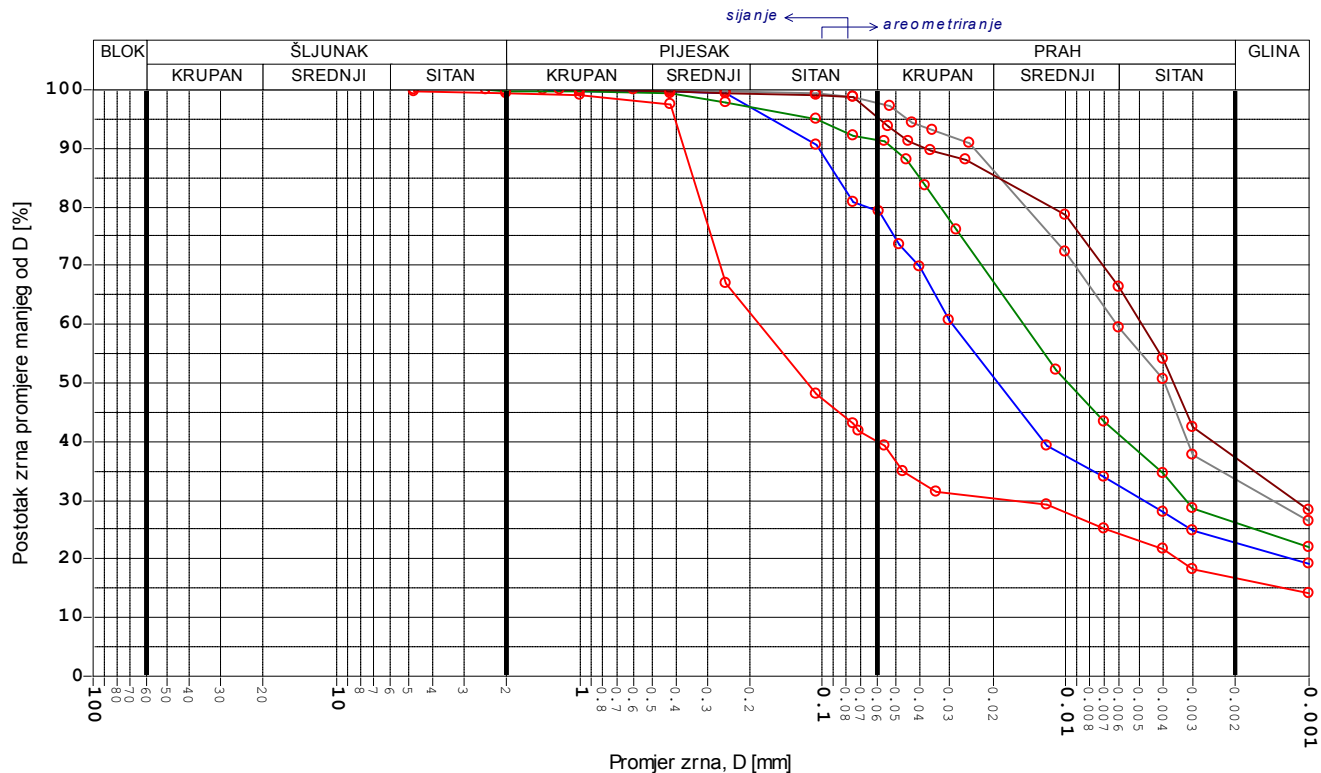
Datum ispisa: 13.2.2014



Lokacija : Komin

Datum izvještaja: 14.2.2014

Objekt : Sanacija desne obale Neretve



NAPOMENA
U dijagramu mjerene točke označene su
odgovarajućim simbolom prikazanim u legendi

—○— S-131-13-01-04-1-04 —○— S-131-13-01-05-1-04 —○— S-131-13-01-06-1-04
—○— S-131-13-01-07-1-04 —○— S-131-13-01-08-1-04

poslovni zadatak / pokus	D60	D30	D10	Cu	Cc	G(%)	S(%)	M(%)	C(%)	VDP
S-131-13-01-04-1-04	0,029	0,004	ništa	ništa	ništa	n/a	20,8	57,1	22,1	6,412E-08
S-131-13-01-05-1-04	0,182	0,025	ništa	ništa	ništa	0,5	59,5	23,8	16,2	7,945E-07
S-131-13-01-06-1-04	0,015	0,002	ništa	ništa	ništa	0,2	8,4	66,0	25,4	0,000E+00
S-131-13-01-07-1-04	0,006	0,001	ništa	ništa	ništa	n/a	2,3	65,6	32,1	0,000E+00
S-131-13-01-08-1-04	0,005	0,001	ništa	ništa	ništa	n/a	5,0	59,6	35,5	0,000E+00

opisna oznaka bušotina/jama/ stacionaža	dubina / kota (m)	oznaka JLO ispitivanja	Dmax (mm)	oblik zrna	tvrdoča zrna	Gs	uređaj za dispaciju	disp. trajanje (min)
S-131-13-01	6,00-6,20	S-131-13-01-04-1-04	1,4	n/a	mekano	2,74	mješalica	10
S-131-13-01	7,50-8,00	S-131-13-01-05-1-04	4,8	n/a	tvrdo i postojano	2,75	mješalica	10
S-131-13-01	13,70-13,80	S-131-13-01-06-1-04	2,4	n/a	mekano	2,73	mješalica	15
S-131-13-01	17,20-17,30	S-131-13-01-07-1-04	0,6	n/a	tvrdo i postojano	2,75	mješalica	15
S-131-13-01	19,40-19,60	S-131-13-01-08-1-04	1,2	oštro	tvrdo i postojano	2,74	mješalica	15

Ispitni izvještaj izradio: zamjenik voditelja laboratorija Branimir Veličković, dipl.ing.rud.

Datum ispisa: 14.2.2014

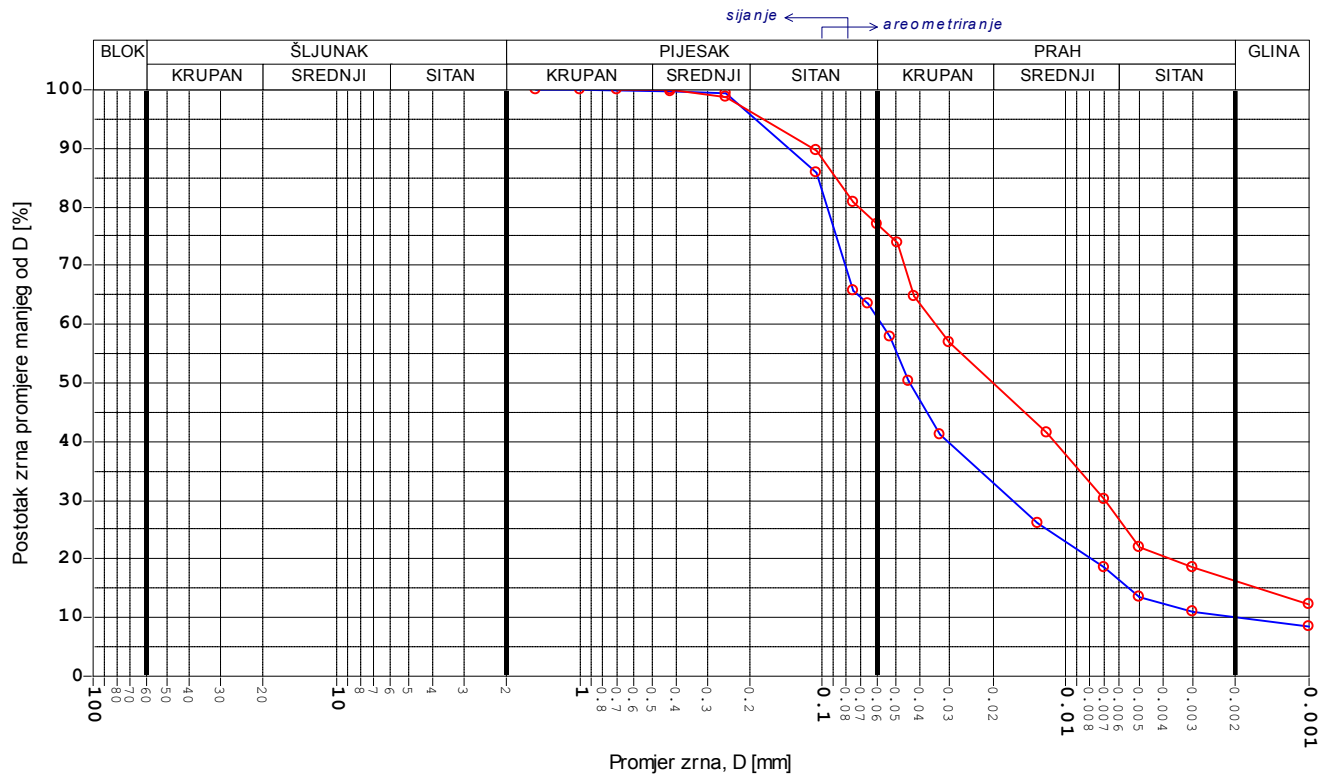
17025-HAA

1089

Lokacija : Komin

Datum izvještaja: 14.2.2014

Objekt : Sanacija desne obale Neretve



poslovni zadatak / pokus	D60	D30	D10	Cu	Cc	G(%)	S(%)	M(%)	C(%)	VDP
S-131-13-02-04-1-04	0,057	0,014	0,002	30,193	1,707	n/a	38,9	51,3	9,8	5,150E-06
S-131-13-02-05-1-04	0,034	0,007	ništa	ništa	ništa	n/a	22,9	61,6	15,5	9,014E-07

opisna oznaka bušotina/jama/ stacionaža	dubina / kota (m)	oznaka JLO ispitivanja	Dmax (mm)	oblik zrna	tvrdoča zrna	Gs	uređaj za dispaciju	disp. trajanje (min)
S-131-13-02	8,00-8,30	S-131-13-02-04-1-04	1,5	n/a	tvrdo i postojano	2,73	mješalica	10
S-131-13-02	10,00-10,30	S-131-13-02-05-1-04	0,7	n/a	tvrdo i postojano	2,73	mješalica	10

Ispitni izvještaj izradio: zamjenik voditelja laboratorija Branimir Veličković, dipl.ing.rud.

Datum ispisa: 14.2.2014



Predmet: NA-131-13

Lokacija: Komin

Objekt: Sanacija desne obale rijeke Neretve

Oznaka bušotine/jame/stacionaže: S-131-13-01

Dubina: 2,00-2,20

Oznaka ispitivanja: S-131-13-01-02-1-06

Oznaka seta: S-DS-03

Datum ispitivanja: 12.2.2014

Vrsta uzorka: neporemećen Opis materijala: Smeđe boje, konkrecije do 5 mm

Wp: 21,46 WI: 39,38 Simbol klasifikacije: CI

G: n/a

S: n/a

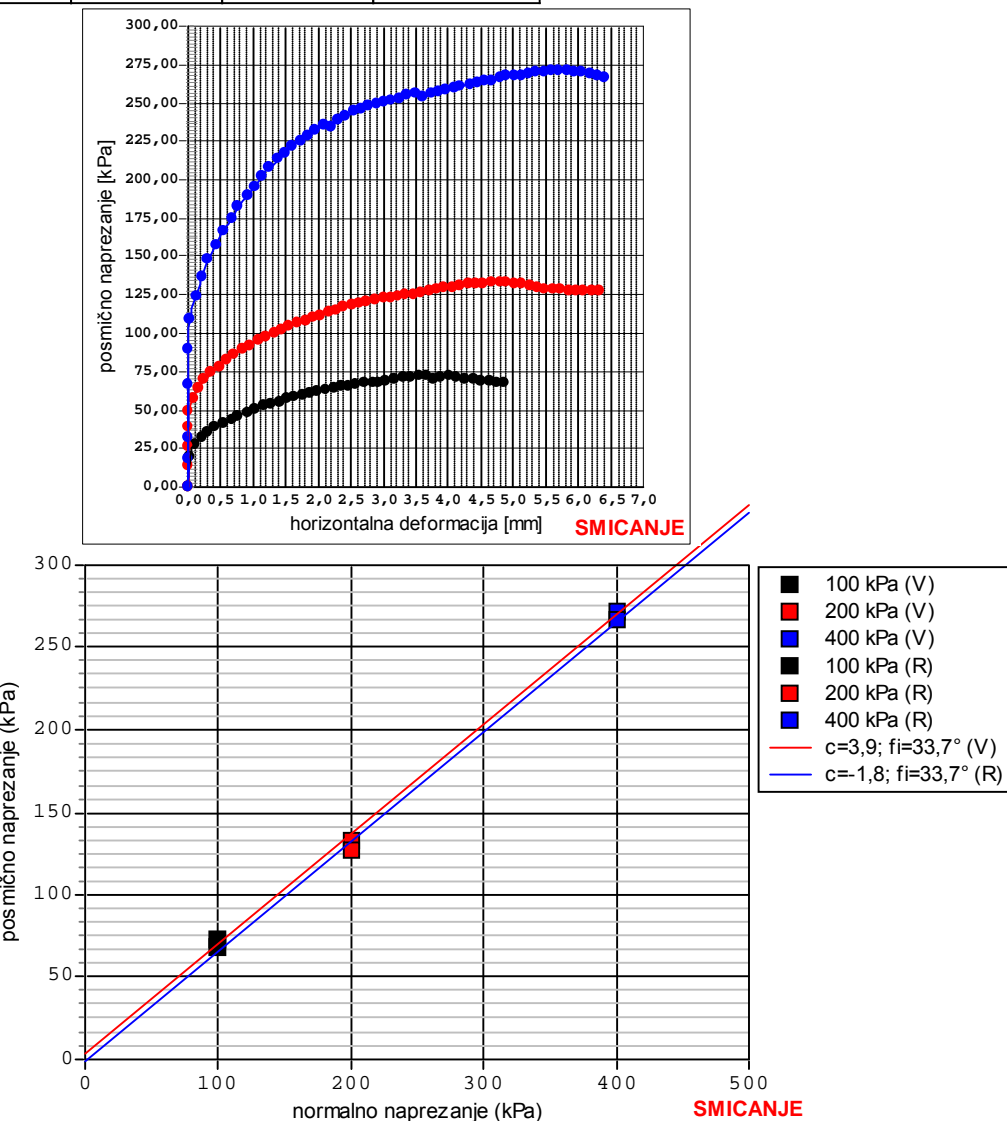
M: n/a

C: n/a

Napomena:

točka	σ_v (kPa)	w (%) poč.stanje/ konač.stanje	ρ/ρ_d (g/cm ³) poč.stanje	ρ/ρ_d (g/cm ³) konač.stanje	početna visina / širina (mm)	uzorak potopljen/ ako DA σ_v (kPa)
1	100	33,8 / 27,2	2,03 / 1,60	2,25 / 1,77	25,1 / 59,8	DA/100
2	200	33,8 / 26,3	2,03 / 1,61	2,33 / 1,85	25,1 / 59,8	DA/200
3	400	33,8 / 25,7	2,03 / 1,62	3,66 / 2,91	25,2 / 59,9	DA/400

točka	brzina smicanja (mm/min)	σ_v (kPa)	τ_1 (kPa)	horiz. def. pri slomu (mm)
1	0,06	100	73	3,64
2	0,06	200	133,2	4,73
3	0,06	400	271,5	5,59



Ispitni izvještaj izradio: zamjenik voditelja laboratorija Branimir Veličković, dipl.ing.rud.

Datum izrade izvještaja: 13.2.2014



**Ispitni izvještaj određivanja
jednoosne čvrstoće ASTM D 2166**

Rezultati ispitivanja odnose se samo ispitani uzorak
 Ispitni izvještaj ne smije se preslikavati djelomično
 ili u cijelosti bez pisanoog odobrenja voditelja laboratorija

Oznaka obrasca: OL-5.4-07_01

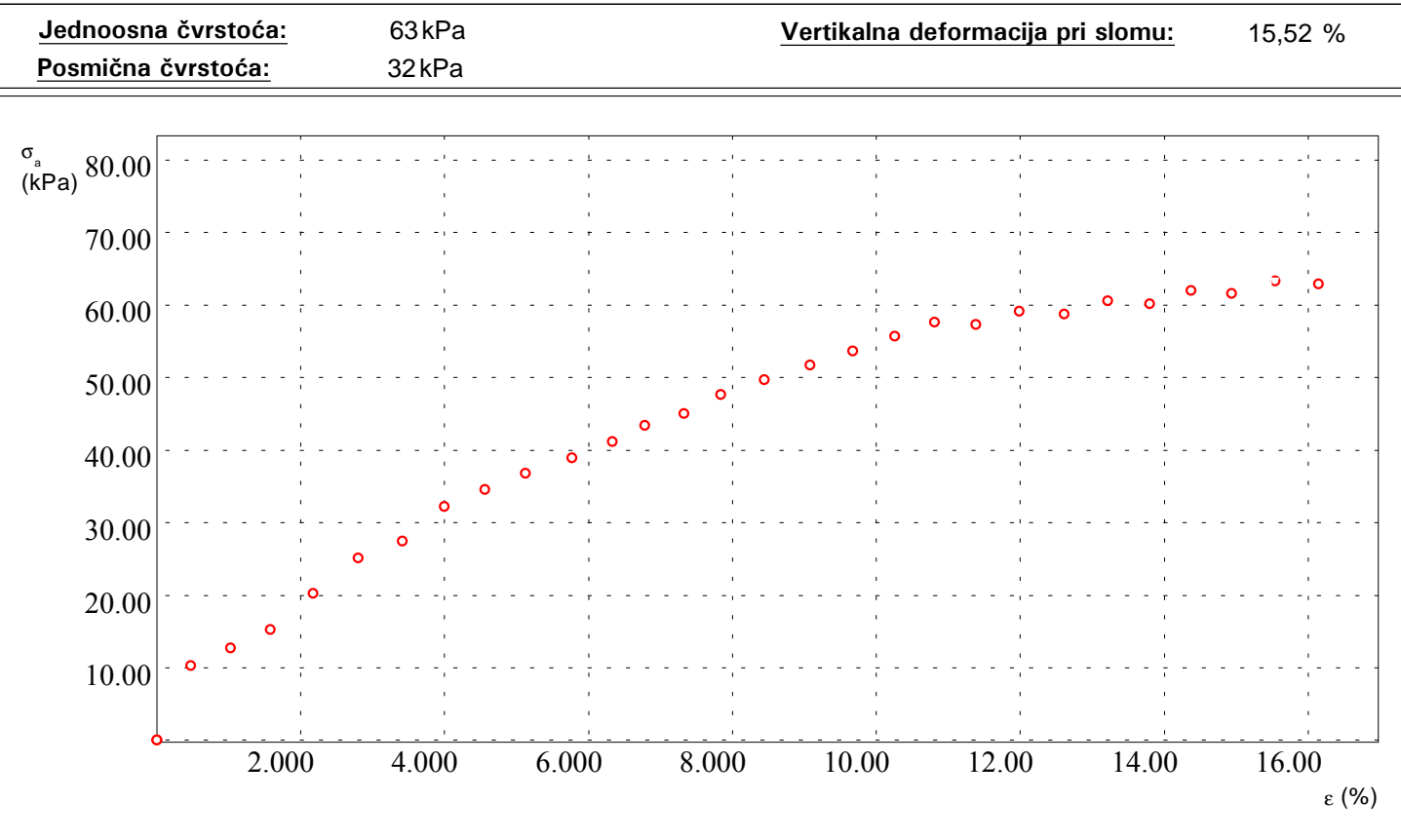
Investitor:	Hrvatske vode
Adresa:	Ul. grada Vukovara, 10000 Zagreb
Lokacija:	San. d. obale Neretve u Kominu
Oznaka sonde:	S-131-13-01
Dubina:	3.30 - 3.50
Oznaka ispitivanja:	S-131-13-01-03-1-07
Datum ispitivanja:	10.02.2014

Datum zaprimanja uzorka:	01.2014.
Početni promjer uzorka:	34,99 mm
Početna visina uzorka:	80,00 mm
Odnos visina/promjer uzorka:	2,29
Početna pop. površina uzorka:	9,62 cm ²
Brzina smicanja:	02,14 mm/min
Vlažnost - ispitni uzorak prije smicanja	
Masa vlažna brutto:	180,49 g
Masa suha brutto:	143,56 g
Masa tare:	35,11 g
Početna vlažnost:	34,05 % W ₀

Početna gustoća:	1,89 g/cm ³ γ _n
Početna suha gustoća:	1,41 g/cm ³ γ _d
Specifična gustoća:	2,72 g/cm ³ γ _s
Početna saturacija:	99,66 % S ₀
Početni koeficijent pora:	0,929 e ₀
Granica tečenja:	049,3 % w _L
Indeks plastičnosti:	022,6 % IP
Osjetljivost:	n/a % S _T



Napomena uz ispitivanje:	NU CI, smeđe boje vl/uz	Znacenje: vl/uz = vлага iz uzorka vl/tri = vлага iz trimanja
---------------------------------	----------------------------	--


Naziv datoteke: KOMIN1

Ispitni izvještaj izradio:

zamjenik voditelja laboratorija Branimir VELIČKOVIĆ, dipl.ing.rud.



Oznaka projekta: E-131-13-01

Lokacija: Komin

Objekt: Sanacija desne obale rijeke Neretve

Oznaka bušotine: S-131-13-01

Dubina: 2,00-2,20

Oznaka ispitivanja: S-131-13-01-02-1-08

Datum ispitivanja: 10.02.2014.

Uredaj: proizvođač: "Matest" kat. broj: S-260

Vrsta uzorka: neporemećen uzorak

Spec. gustoća, ρ_s [g/cm³] = 2,74

Opis materijala: Smeđe boje, konkrecije do 5 mm

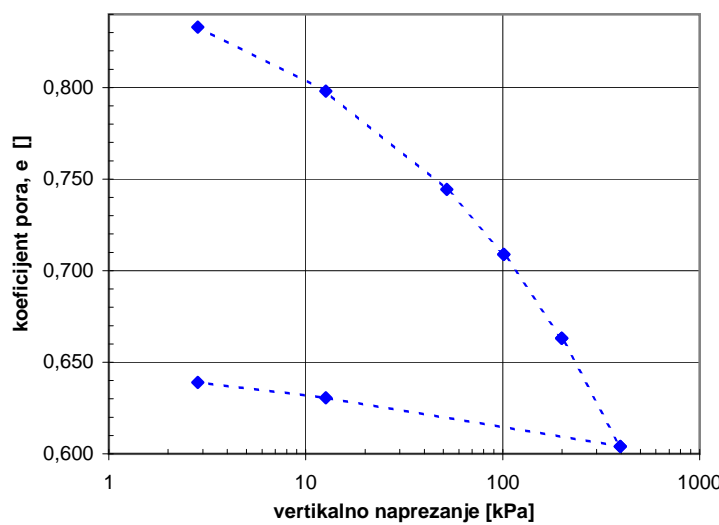
Opis korekcije: n/a

stanje	
početno	konačno
visina [mm]	19,88
promjer [mm]	71,30
w [%]	29,6
ρ [g/cm ³]	1,94
ρ_d [g/cm ³]	1,50
e []	0,83
S _r [%]	97,57
	98,20

srednji σ_v [kPa]	$\sigma_{v,1} - \sigma_{v,2}$ [kPa]	Ms [MPa]
32	13-52	1,3
77	52-101	2,5
-	-	-
150	101-199	3,9
-	-	-
298	199-396	6,1
-	-	-

Uzorak potopljen: DA, pri vert. naprez. od 3 [kPa]

Uzorak bujao: NE



Oznaka elaborata: E-131-13-01; Oznaka priloga: 13

Ispitni izvještaj izradio:

zamjenik voditelja laboratorija Branimir VELIČKOVIĆ, dipl.ing.rud.

str. 1/2

Datum izrade izvještaja: 19.2.2014



Oznaka projekta: E-131-13-01

Lokacija: Komin

Objekt: Sanacija desne obale rijeke Neretve

Oznaka bušotine: S-131-13-01

Dubina: 2,00-2,20

Oznaka ispitivanja: S-131-13-01-02-1-09

Datum ispitivanja: 10.02.2014.

Uredaj: proizvođač: "Matest" kat. broj: S-260

Vrsta uzorka: neporemećen uzorak

Spec. gustoća, ρ_s [g/cm³] = 2,74

Opis materijala: Smeđe boje, konkrecije do 5 mm

Opis korekcije: n/a

stanje	
početno	konačno
visina [mm]	19,88
promjer [mm]	71,30
w [%]	29,6
ρ [g/cm ³]	1,94
ρ_d [g/cm ³]	1,50
e []	0,83
S _r [%]	97,57
	98,20

σ_v [kPa]	e	k [cm/s]
-	-	-
-	-	-
101	0,709	1,52E-07
-	-	-
199	0,663	9,62E-08
-	-	-
396	0,604	6,84E-08
-	-	-

Uzorak potopljen: DA, pri vert. naprez. od 3 [kPa]



Oznaka elaborata: E-131-13-01; Oznaka priloga: 13

Ispitni izvještaj izradio:

zamjenik voditelja laboratorija Branimir VELIČKOVIĆ, dipl.ing.rud.

Datum izrade izvještaja: 19.2.2014

str. 2/2



Oznaka projekta: E-131-13-01

Lokacija: Komin

Objekt: Sanacija desne obale rijeke Neretve

Oznaka bušotine: S-131-13-01

Dubina: 3,30-3,50

Oznaka ispitivanja: S-131-13-01-03-1-08

Datum ispitivanja: 10.02.2014.

Uredaj: proizvođač: "Matest" kat. broj: S-260

Vrsta uzorka: neporemećen uzorak

Spec. gustoća, ρ_s [g/cm³] = 2,72

Opis materijala: Sive boje

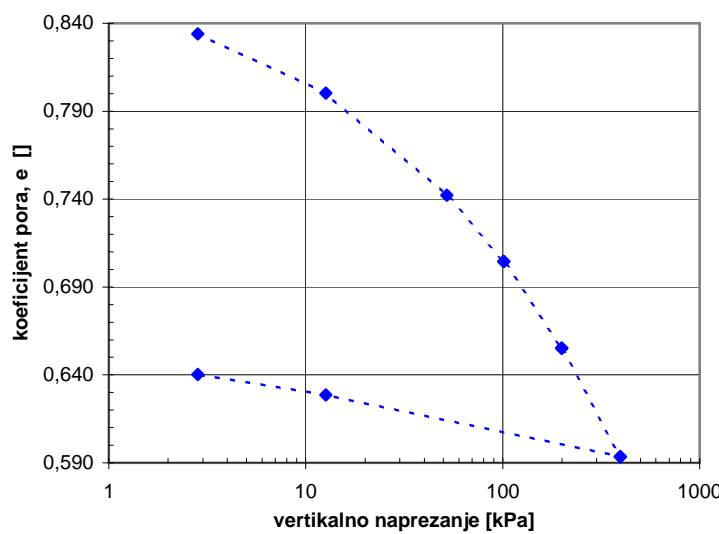
Opis korekcije: n/a

stanje	
početno	konačno
visina [mm]	19,88
promjer [mm]	71,30
w [%]	29,5
ρ [g/cm ³]	1,92
ρ_d [g/cm ³]	1,49
e []	0,83
S _r [%]	96,58
	98,85

srednji σ_v [kPa]	$\sigma_{v,1} - \sigma_{v,2}$ [kPa]	Ms [MPa]
32	13-52	1,2
77	52-101	2,4
-	-	-
150	101-199	3,7
-	-	-
298	199-396	5,8
-	-	-

Uzorak potopljen: DA, pri vert. naprez. od 3 [kPa]

Uzorak bujao: NE



Oznaka elaborata: E-131-13-01; Oznaka priloga: 14

Ispitni izvještaj izradio:

zamjenik voditelja laboratorija Branimir VELIČKOVIĆ, dipl.ing.rud.

str. 1/2

Datum izrade izvještaja: 19.2.2014



Oznaka projekta: E-131-13-01

Lokacija: Komin

Objekt: Sanacija desne obale rijeke Neretve

Oznaka bušotine: S-131-13-01

Dubina: 3,30-3,50

Oznaka ispitivanja: S-131-13-01-03-1-09

Datum ispitivanja: 10.02.2014.

Uredaj: proizvođač: "Matest" kat. broj: S-260

Vrsta uzorka: neporemećen uzorak

Spec. gustoća, ρ_s [g/cm³] = 2,72

Opis materijala: Sive boje

Opis korekcije: n/a

stanje	
početno	konačno
visina [mm]	19,88
promjer [mm]	71,30
w [%]	29,5
ρ [g/cm ³]	1,92
ρ_d [g/cm ³]	1,49
e []	0,83
S _r [%]	96,58
	98,85

σ_v [kPa]	e	k [cm/s]
-	-	-
-	-	-
101	0,705	1,27E-07
-	-	-
199	0,655	2,91E-08
-	-	-
396	0,594	2,04E-08
-	-	-

Uzorak potopljen: DA, pri vert. naprez. od 3 [kPa]



Oznaka elaborata: E-131-13-01; Oznaka priloga: 14

Ispitni izvještaj izradio:

zamjenik voditelja laboratorija Branimir VELIČKOVIĆ, dipl.ing.rud.

str. 2/2

Datum izrade izvještaja: 19.2.2014

TABLICA REZULTATA FIZIKALNIH SVOJSTAVA MATERIJALA TLA

OZNAKA UZORKA	DUBINA	PRIRODNA VLAGA	SPECIFIČNA TEŽINA	ZAPREMINSKA TEŽINA	GRANULOMETRIJSKI SASTAV						GRANICE PLASTIČNOSTI	INDEKS PLASTIČNOSTI	INDEKS KONZISTENCIJE	SIMBOL						
					m	w [%]	γ_s [g/cm ³]	γ_d [g/cm ³]	γ [g/cm ³]	G [%]	S [%]	M [%]	C [%]	M + C [%]	VDP USBR k [cm/s]	WL [%]	WP [%]	IP [%]	Ic	
BUŠOTINA		S-131-13-01																		
S-131-13-01-01	1,70-1,80	24,58													32,51	20,06	12,45	0,64	CL	
S-131-13-01-02	2,00-2,20	33,37	2,74												39,38	21,46	17,92	0,34	CI	
S-131-13-01-03	3,30-3,50	34,42	2,72	1,40	1,88										49,25	26,61	22,64	0,66	CI	
S-131-13-01-04	6,00-6,20	39,82						20,80	57,10	22,10					6,41E-08	37,37	22,44	14,93	CI	
S-131-13-01-05	7,50-8,00	30,97						0,50	59,50	23,80	16,20				7,95E-07	23,28	16,59	6,69	CL	
S-131-13-01-06	13,70-13,80	41,15						0,20	8,40	66,00	25,40				43,15	25,29	17,86	0,11	CI	
S-131-13-01-07	17,20-17,30	41,78							2,30	65,60	32,10				50,74	25,09	25,65	0,35	CH	
S-131-13-01-08	19,40-19,60	46,30							5,00	59,60	35,50					58,08	28,27	29,81	0,40	CH
BUŠOTINA		S-131-13-02																		
S-131-13-02-01	1,90-2,00	26,46													27,72	18,01	9,71	0,13	CL	
S-131-13-02-02	2,90-3,00	29,54													37,13	22,08	15,05	0,50	CI	
S-131-13-02-03	4,80-4,90	45,93													45,44	25,61	19,83		CI	
S-131-13-02-04	8,00-8,30	41,68						38,90	51,30	9,80					5,15E-06	43,06	22,11	20,95	0,07	CI
S-131-13-02-05	10,00-10,30	37,21						22,90	61,60	15,50					9,01E-07	38,18	22,36	15,82		CI
S-131-13-02-06	12,30-12,50	41,38													48,08	23,07	25,01	0,27	CI	
S-131-13-02-07	14,60-14,70	41,38													51,05	27,26	23,79	0,41	CH	
S-131-13-02-08	15,80-15,90	41,48													48,84	24,32	24,52	0,30	CI	
S-131-13-02-09	19,80-19,90	42,14													54,78	27,73	27,05	0,47	CH	

TABLICA REZULTATA MEHANIČKIH SVOJSTAVA MATERIJALA TLA

OZNAKA UZORKA	DUBINA	DIREKTNO SMICANJE				TRIAKSIJALNO SMICANJE	PRITISNA ČVRSTOĆA	STIŠLJIVOSTI TLA				VDP IZ STIŠLJIVOSTI			PROCTOROV POKUS	SIMBOL		
		STANDARDNO		REVERSNO				σ_{50}	σ_{100}	σ_{200}	σ_{400}	σ_{100}	σ_{200}	σ_{400}				
		m	c [kPa]	ϕ [°]	c [kPa]	ϕ [°]	c [kPa]	ϕ [°]	qu [kPa]	ε [%]	Ms [MPa]	k [cm/s]	γ_{dmax} (kN/m ³)	w_{opt} (%)				
BUSOTINA		S-131-13-01																
S-131-13-01-02	2,00-2,20	3,90	33,70							1,30	2,50	3,90	6,10	1,52E-07	9,62E-08	6,84E-08		CI
S-131-13-01-03	3,30-3,50							63	15,52	1,20	2,40	3,70	5,80	1,27E-07	2,91E-08	2,04E-08		CI